



## Mathematik Fachkoordinatorentag Landesschulrat für die Steiermark

Stephen Keeling

Institut für Mathematik und Wissenschaftliches Rechnen

Über die Modellierungswoche für SchülerInnen:

<http://math.uni-graz.at/modellwoche/>

und den Modellierungsworkshop für LehrerInnen:

<http://math.uni-graz.at/modellworkshop/>

## **Die Modellierungswoche in der Steiermark**

- 2005, 2006, 2007 und das vierte Mal im Jahr 2008!

# Die Modellierungswoche in der Steiermark

- 2005, 2006, 2007 und das vierte Mal im Jahr 2008!
- Findet vom 13.-19.Jan 2008 im Schloss Seggau statt.



# Die Modellierungswoche in der Steiermark

- 2005, 2006, 2007 und das vierte Mal im Jahr 2008!
- Findet vom 13.-19.Jan 2008 im Schloss Seggau statt.



- Anmeldungsfrist läuft bis zum **14.Dez 2007**.

# Die Modellierungswoche in der Steiermark

- 2005, 2006, 2007 und das vierte Mal im Jahr 2008!
- Findet vom 13.-19.Jan 2008 im Schloss Seggau statt.



- Anmeldungsfrist läuft bis zum **14.Dez 2007**.
- Anmeldung **elektronisch** und 30 Plätze werden **verlost**.

# Die Modellierungswoche in der Steiermark

- 2005, 2006, 2007 und das vierte Mal im Jahr 2008!
- Findet vom 13.-19.Jan 2008 im Schloss Seggau statt.



- Anmeldungsfrist läuft bis zum **14.Dez 2007**.
- Anmeldung **elektronisch** und 30 Plätze werden **verlost**.
- Das Team:



Wogrin S.Thaller Schöpf B.Thaller Lettl Keeling Propst

## Der Modellierungsworkshop in der Steiermark

- (Modellierungstag: 2005). 2007 und 2008 (zweites Mal!)

# Der Modellierungsworkshop in der Steiermark

- (Modellierungstag: 2005). 2007 und 2008 (zweites Mal!)
- Findet vom 4.-6.Feb 2008 im Schloss Seggau statt.



# Der Modellierungsworkshop in der Steiermark

- (Modellierungstag: 2005). 2007 und 2008 (zweites Mal!)
- Findet vom 4.-6.Feb 2008 im Schloss Seggau statt.



- **Anmeldung** beim PI bis zum Ende des Sommersemesters.

# Der Modellierungsworkshop in der Steiermark

- (Modellierungstag: 2005). 2007 und 2008 (zweites Mal!)
- Findet vom 4.-6.Feb 2008 im Schloss Seggau statt.



- **Anmeldung** beim PI bis zum Ende des Sommersemesters.
- Einführung in Modellierung und Softwares.

# Der Modellierungsworkshop in der Steiermark

- (Modellierungstag: 2005). 2007 und 2008 (zweites Mal!)
- Findet vom 4.-6.Feb 2008 im Schloss Seggau statt.



- **Anmeldung** beim PI bis zum Ende des Sommersemesters.
- Einführung in Modellierung und Softwares.
- **Zwei Gruppen** mit eigenen Problemstellungen und kurzen Präsentationen am Ende.

# Der Modellierungsworkshop in der Steiermark

- (Modellierungstag: 2005). 2007 und 2008 (zweites Mal!)
- Findet vom 4.-6.Feb 2008 im Schloss Seggau statt.



- **Anmeldung** beim PI bis zum Ende des Sommersemesters.
- Einführung in Modellierung und Softwares.
- **Zwei Gruppen** mit eigenen Problemstellungen und kurzen Präsentationen am Ende.
- Vorträge am Abend über Beispiele.

# Der Modellierungsworkshop in der Steiermark

- (Modellierungstag: 2005). 2007 und 2008 (zweites Mal!)
- Findet vom 4.-6.Feb 2008 im Schloss Seggau statt.



- **Anmeldung** beim PI bis zum Ende des Sommersemesters.
- Einführung in Modellierung und Softwares.
- **Zwei Gruppen** mit eigenen Problemstellungen und kurzen Präsentationen am Ende.
- Vorträge am Abend über Beispiele.

- Das Team:



Windischbacher

Desch

Keeling

Nun Einige Beispiele!

Einführung in Wärmetransport:

## Nun Einige Beispiele!

### Einführung in Wärmetransport:

- Die Heizung wird ausgeschaltet in  $t_0 = 0$ .

## Nun Einige Beispiele!

### Einführung in Wärmetransport:

- Die Heizung wird ausgeschaltet in  $t_0 = 0$ .
- Die Innentemperatur ist  $T(t)$  und

## Nun Einige Beispiele!

### Einführung in Wärmetransport:

- Die Heizung wird ausgeschaltet in  $t_0 = 0$ .
- Die Innentemperatur ist  $T(t)$  und
- die Aussentemperatur ist  $T_\infty < T(t_0) = T_0$ .

## Nun Einige Beispiele!

### Einführung in Wärmetransport:

- Die Heizung wird ausgeschaltet in  $t_0 = 0$ .
- Die Innentemperatur ist  $T(t)$  und
- die Aussentemperatur ist  $T_\infty < T(t_0) = T_0$ .
- Zeitdauer  $t_1$  bis  $T(t_1) = T_\infty + p[T_0 - T_\infty]$  ?

## Nun Einige Beispiele!

Einführung in Wärmetransport:

- Die Heizung wird ausgeschaltet in  $t_0 = 0$ .
- Die Innentemperatur ist  $T(t)$  und
- die Aussentemperatur ist  $T_\infty < T(t_0) = T_0$ .
- Zeitdauer  $t_1$  bis  $T(t_1) = T_\infty + p[T_0 - T_\infty]$  ?

Das Newtonsche Kühlungsgesetz beschreibt Diffusion so:

$$E'(t) \propto [T_\infty - T(t)]$$

## Nun Einige Beispiele!

Einführung in Wärmetransport:

- Die Heizung wird ausgeschaltet in  $t_0 = 0$ .
- Die Innentemperatur ist  $T(t)$  und
- die Aussentemperatur ist  $T_\infty < T(t_0) = T_0$ .
- Zeitdauer  $t_1$  bis  $T(t_1) = T_\infty + p[T_0 - T_\infty]$  ?

Das Newtonsche Kühlungsgesetz beschreibt Diffusion so:

$$E'(t) \propto [T_\infty - T(t)]$$

oder mit  $E(t) = \rho c V T(t)$ ,

$$\rho c V T'(t) = h S [T_\infty - T(t)], \quad T(t_0) = T_0$$

## Nun Einige Beispiele!

Einführung in Wärmetransport:

- Die Heizung wird ausgeschaltet in  $t_0 = 0$ .
- Die Innentemperatur ist  $T(t)$  und
- die Aussentemperatur ist  $T_\infty < T(t_0) = T_0$ .
- Zeitdauer  $t_1$  bis  $T(t_1) = T_\infty + p[T_0 - T_\infty]$  ?

Das Newtonsche Kühlungsgesetz beschreibt Diffusion so:

$$E'(t) \propto [T_\infty - T(t)]$$

oder mit  $E(t) = \rho c V T(t)$ ,

$$\rho c V T'(t) = h S [T_\infty - T(t)], \quad T(t_0) = T_0$$

Lösung ist  $T(t) = T_\infty + [T_0 - T_\infty] \exp[-hSt/(\rho cV)]$ , und

$$t_1 = \frac{\rho c V}{h S} \ln \frac{1}{p}$$

## Nun Einige Beispiele!

Einführung in Wärmetransport:

- Die Heizung wird ausgeschaltet in  $t_0 = 0$ .
- Die Innentemperatur ist  $T(t)$  und
- die Aussentemperatur ist  $T_\infty < T(t_0) = T_0$ .
- Zeitdauer  $t_1$  bis  $T(t_1) = T_\infty + p[T_0 - T_\infty]$  ?

Das Newtonsche Kühlungsgesetz beschreibt Diffusion so:

$$E'(t) \propto [T_\infty - T(t)]$$

oder mit  $E(t) = \rho c V T(t)$ ,

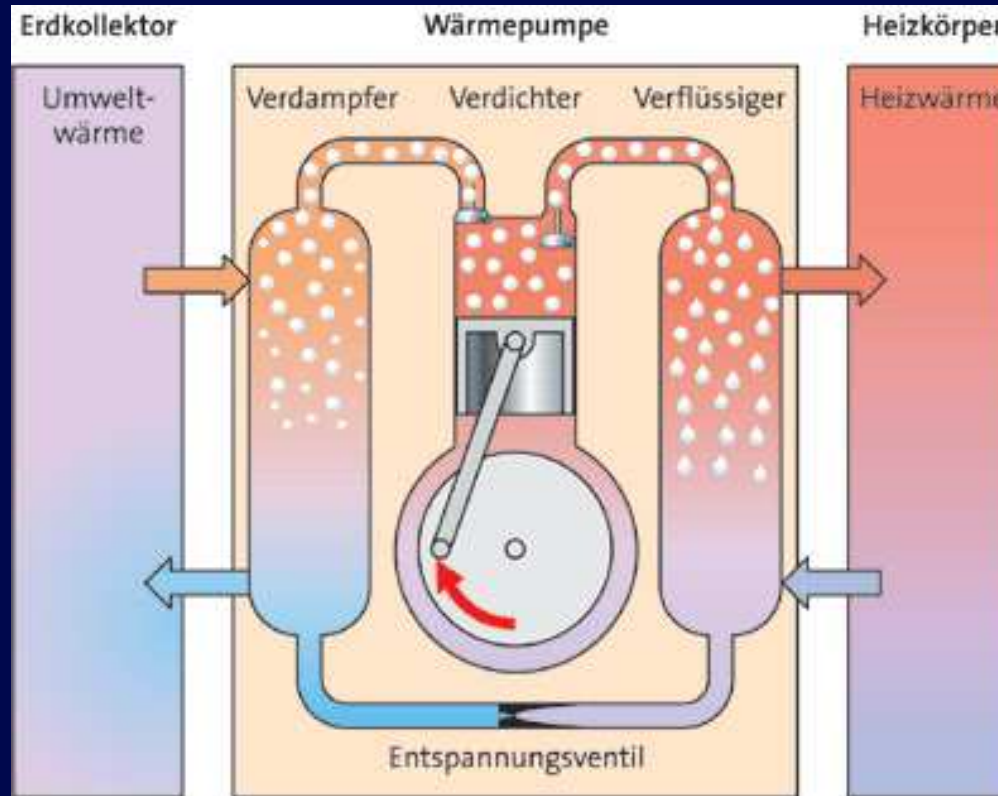
$$\rho c V T'(t) = h S [T_\infty - T(t)], \quad T(t_0) = T_0$$

Lösung ist  $T(t) = T_\infty + [T_0 - T_\infty] \exp[-hSt/(\rho cV)]$ , und

$$t_1 = \frac{\rho c V}{h S} \ln \frac{1}{p}$$

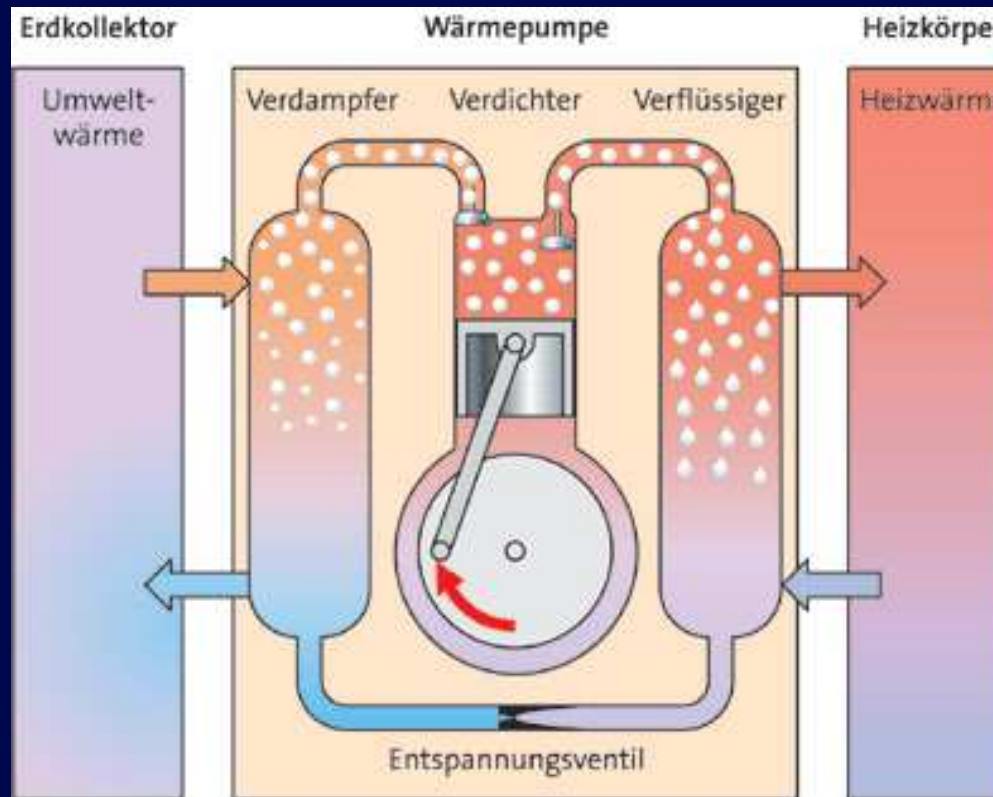
Weitere Frage: Soll man über einen Urlaub heizen?

# Wie funktioniert eine Erdwärmeheizung?



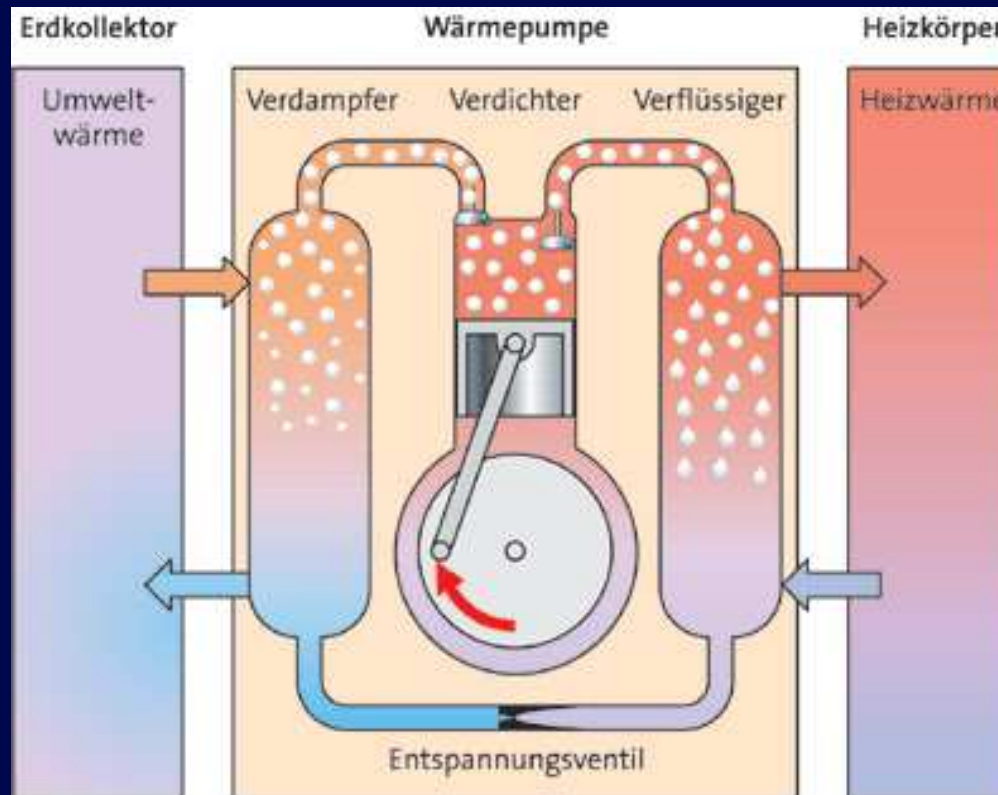
# Wie funktioniert eine Erdwärmeheizung?

Unser System  
ist falsch in-  
stalliert wor-  
den!



# Wie funktioniert eine Erdwärmehitzung?

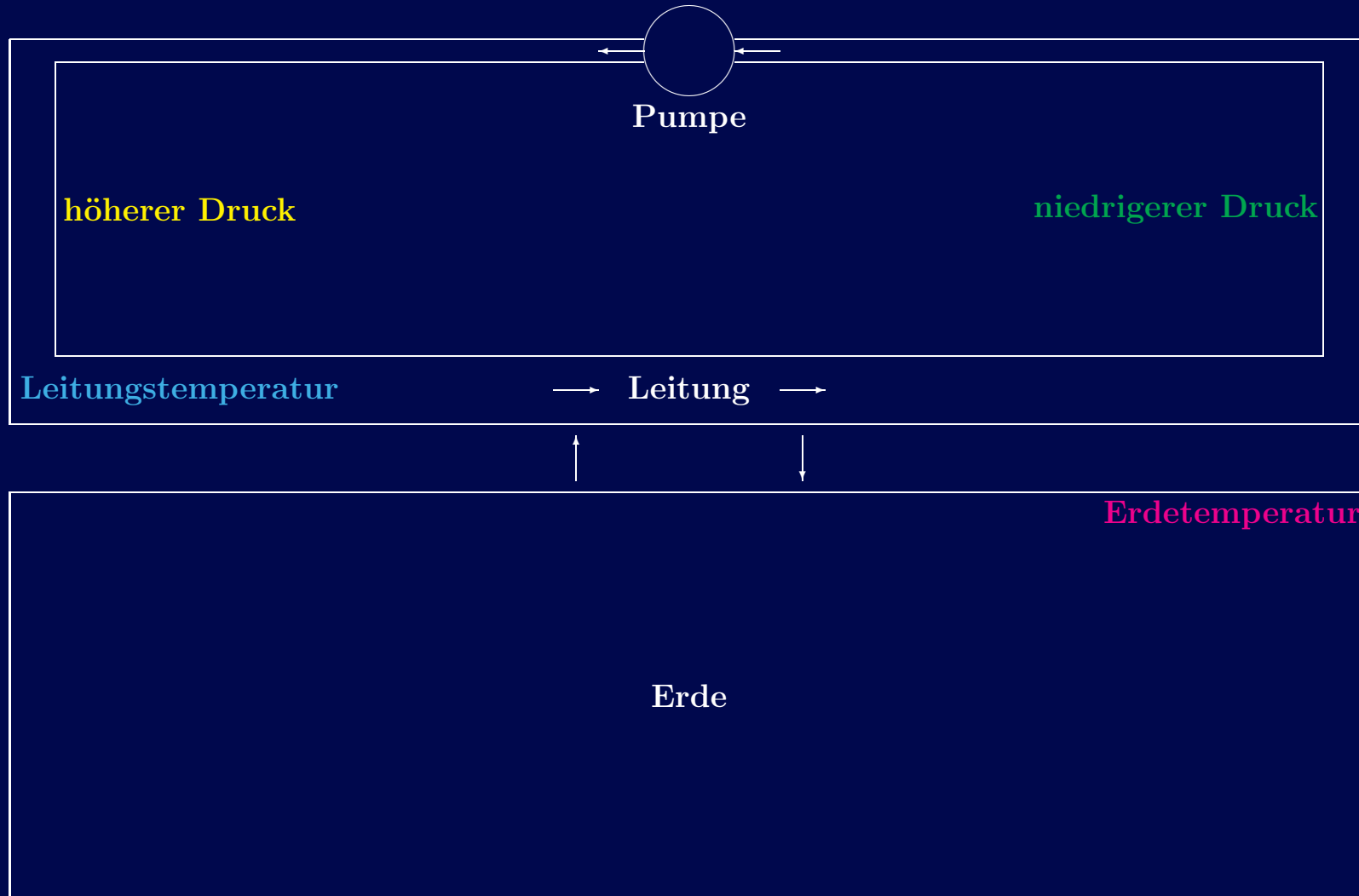
Unser System  
ist falsch in-  
stalliert wor-  
den!



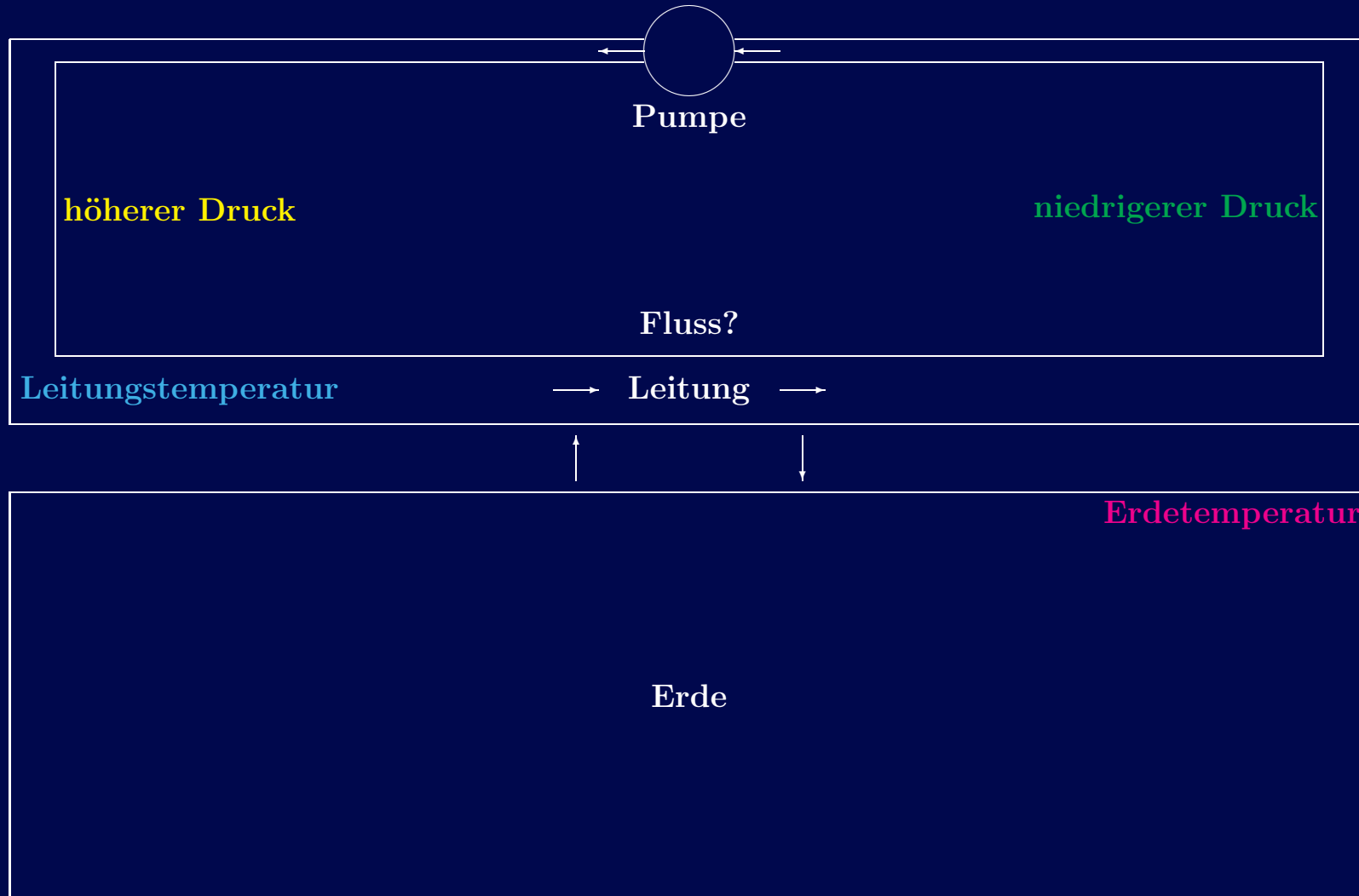
Wo liegt das  
Problem?  
Baufirma?  
Erdwärmefirma?



# Wärmetransport: Diffusion und Konvektion



# Wärmetransport: Diffusion und Konvektion



## Grundfragen für eine Fehlersuche

- Ist der Wärmetransport (*Wärme pro Zeiteinheit*) höher, wenn der Fluss höher oder niedriger ist?

## Grundfragen für eine Fehlersuche

- Ist der Wärmetransport (*Wärme pro Zeiteinheit*) höher, wenn der Fluss höher oder niedriger ist?

Ohne Mathematik: Eiskaltes Wasser strömt aus dem Duschkopf. Hält die Körperwärme länger aus, wenn der Fluss höher oder niedriger ist?

## Grundfragen für eine Fehlersuche

- Ist der Wärmetransport (*Wärme pro Zeiteinheit*) höher, wenn der Fluss höher oder niedriger ist?  
Ohne Mathematik: Eiskaltes Wasser strömt aus dem Duschkopf. Hält die Körperwärme länger aus, wenn der Fluss höher oder niedriger ist?
- Ist der Fluss höher (*oder Widerstand niedriger,  $\Delta P = F \cdot W$* ), wenn die Erdkollektoren konfiguriert sind mit:  $1 \times 600\text{m}$ ,  $3 \times 200\text{m}$  oder  $6 \times 100\text{m}$ ?

## Grundfragen für eine Fehlersuche

- Ist der Wärmetransport (*Wärme pro Zeiteinheit*) höher, wenn der Fluss höher oder niedriger ist?

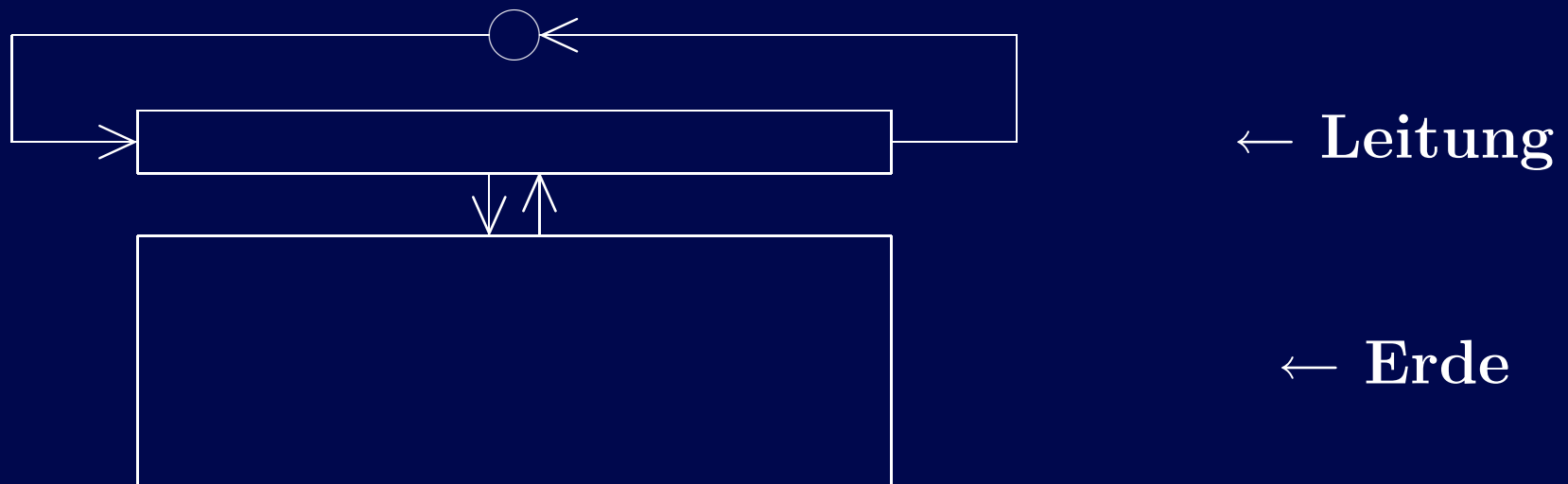
Ohne Mathematik: Eiskaltes Wasser strömt aus dem Duschkopf. Hält die Körperwärme länger aus, wenn der Fluss höher oder niedriger ist?

- Ist der Fluss höher (*oder Widerstand niedriger,  $\Delta P = F \cdot W$* ), wenn die Erdkollektoren konfiguriert sind mit:  $1 \times 600\text{m}$ ,  $3 \times 200\text{m}$  oder  $6 \times 100\text{m}$ ?

Ohne Mathematik: Sie fahren durch Graz mit einem offenen Lastwagen, um Güter zu sammeln. Fahren Sie schneller (sammeln Sie mehr pro Zeiteinheit) mit:  $1 6\text{km Strasse}$ ,  $3 2\text{km Strassen}$  oder  $6 1\text{km Strassen}$ ?

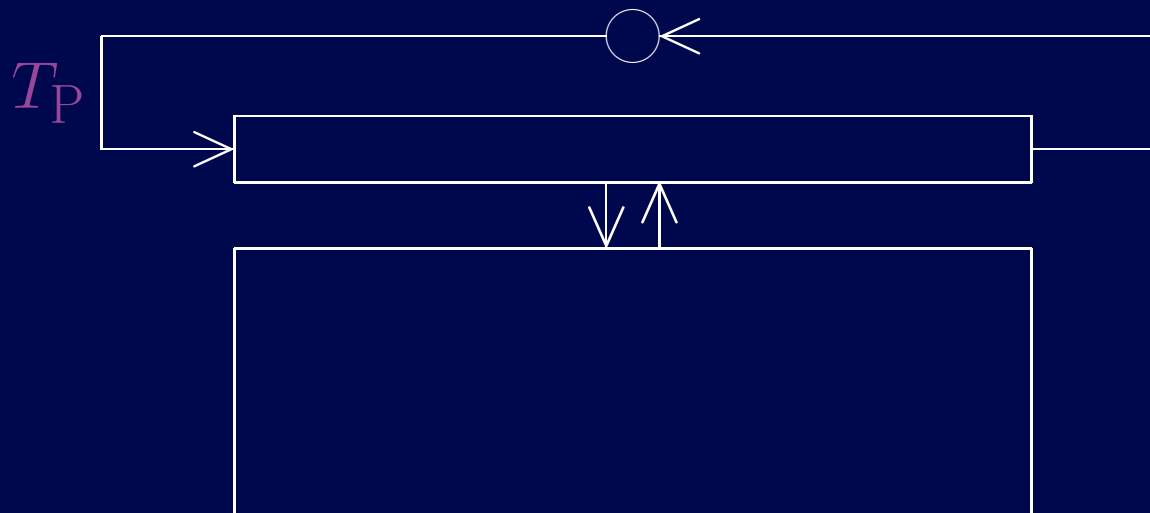
## Wärmetransport steigt mit dem Fluss

Pumpe →



## Wärmetransport steigt mit dem Fluss

Pumpe →

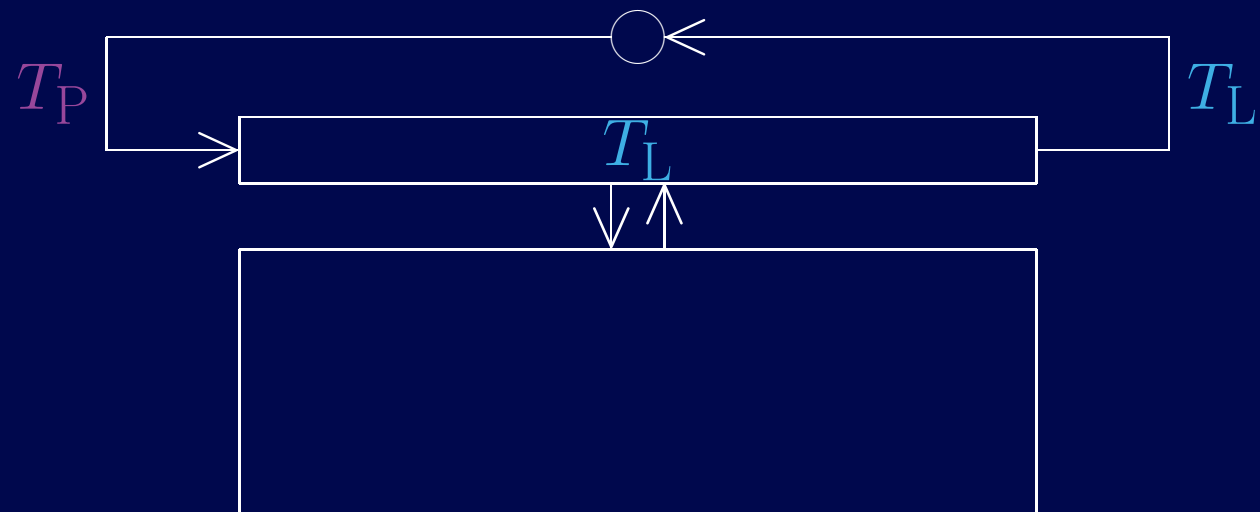


← Leitung

← Erde

## Wärmetransport steigt mit dem Fluss

Pumpe →

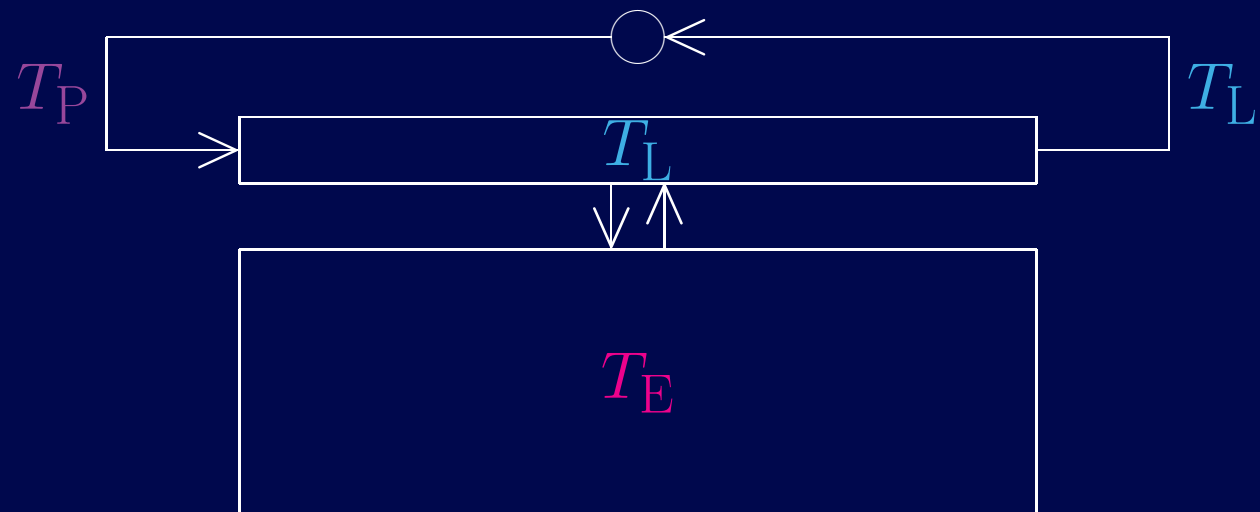


← Leitung

← Erde

## Wärmetransport steigt mit dem Fluss

Pumpe →

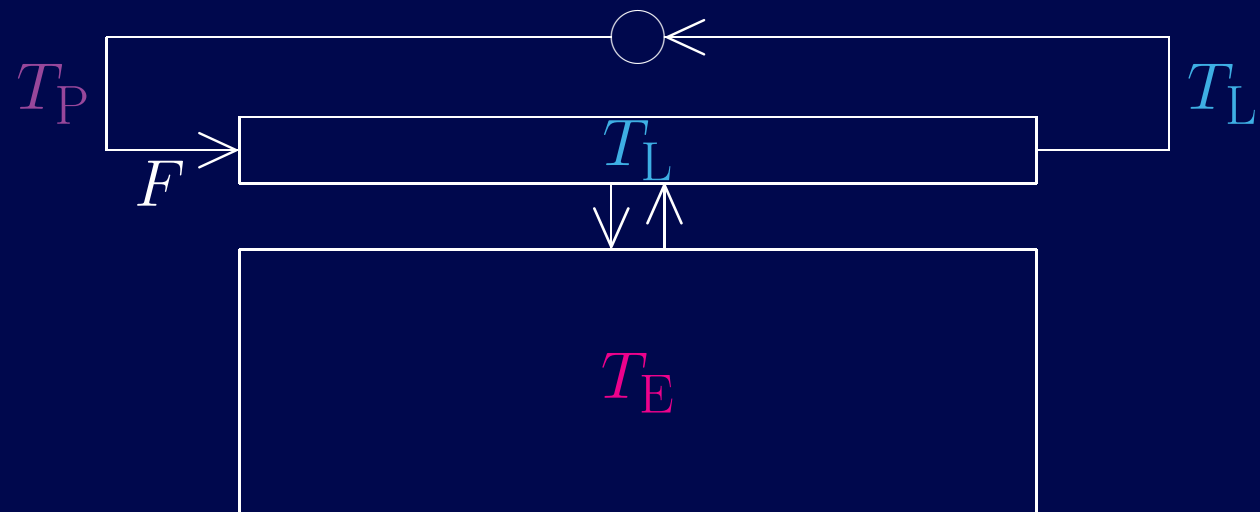


$\leftarrow$  Leitung

$\leftarrow$  Erde

## Wärmetransport steigt mit dem Fluss

Pumpe →

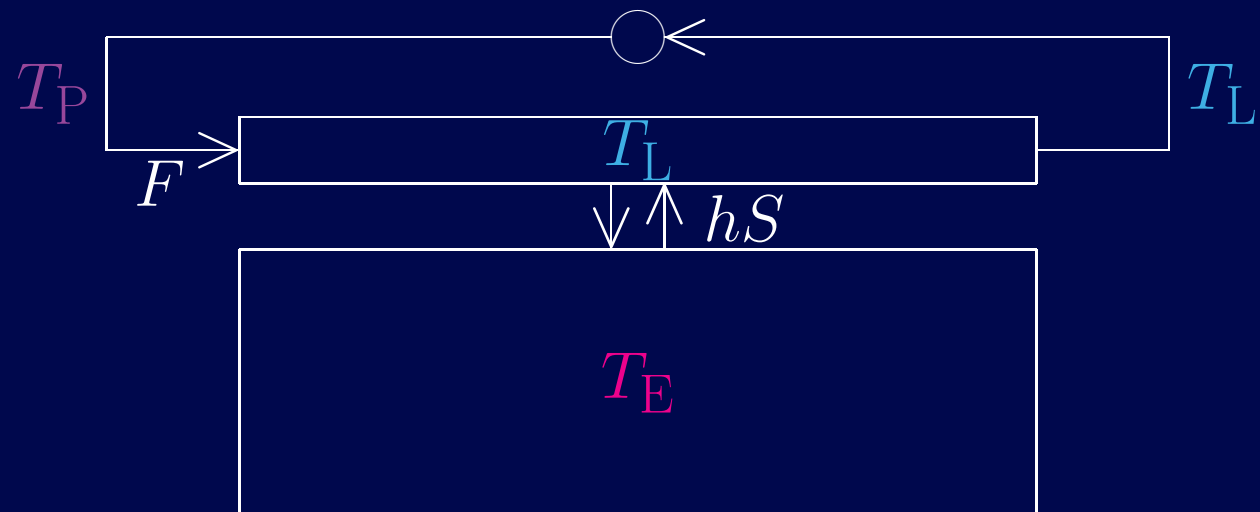


← Leitung

← Erde

## Wärmetransport steigt mit dem Fluss

Pumpe →



← Leitung

← Erde

## Wärmetransport steigt mit dem Fluss

Pumpe →



Einfachster Fall: Fluss  $F = 0$ , Newtonsches Kühlungsgesetz ist

## Wärmetransport steigt mit dem Fluss

Pumpe →



Einfachster Fall: Fluss  $F = 0$ , Newtonsches Kühlungsgesetz ist

$$E'_L = hS(T_E - T_L)$$

$$E'_E = hS(T_L - T_E)$$

## Wärmetransport steigt mit dem Fluss

Pumpe →



Einfachster Fall: Fluss  $F = 0$ , Newtonsches Kühlungsgesetz ist

$$\rho_L c_L V_L T'_L = E'_L = hS(T_E - T_L)$$

$$\rho_E c_E V_E T'_E = E'_E = hS(T_L - T_E)$$

## Wärmetransport steigt mit dem Fluss

Pumpe →



Einfachster Fall: Fluss  $F = 0$ , Newtonsches Kühlungsgesetz ist

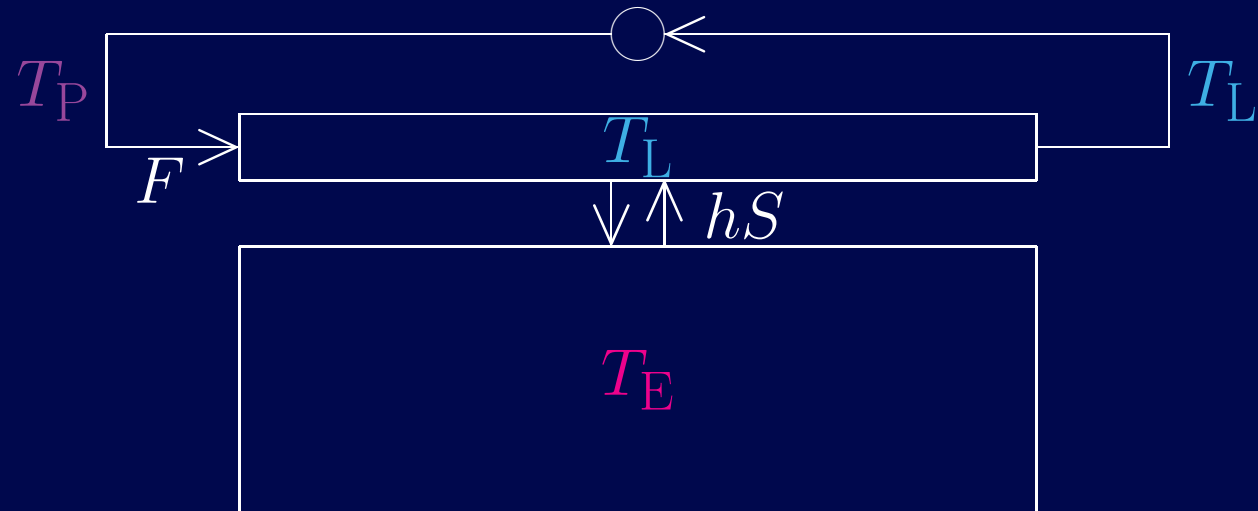
$$\rho_L c_L V_L T'_L = E'_L = hS(T_E - T_L)$$

$$\rho_E c_E V_E T'_E = E'_E = hS(T_L - T_E)$$

Ergebnis:  $T_L, T_E \rightarrow T_\infty$  zwischen  $T_L$  und  $T_E$ .

## Wärmetransport steigt mit dem Fluss

Pumpe →



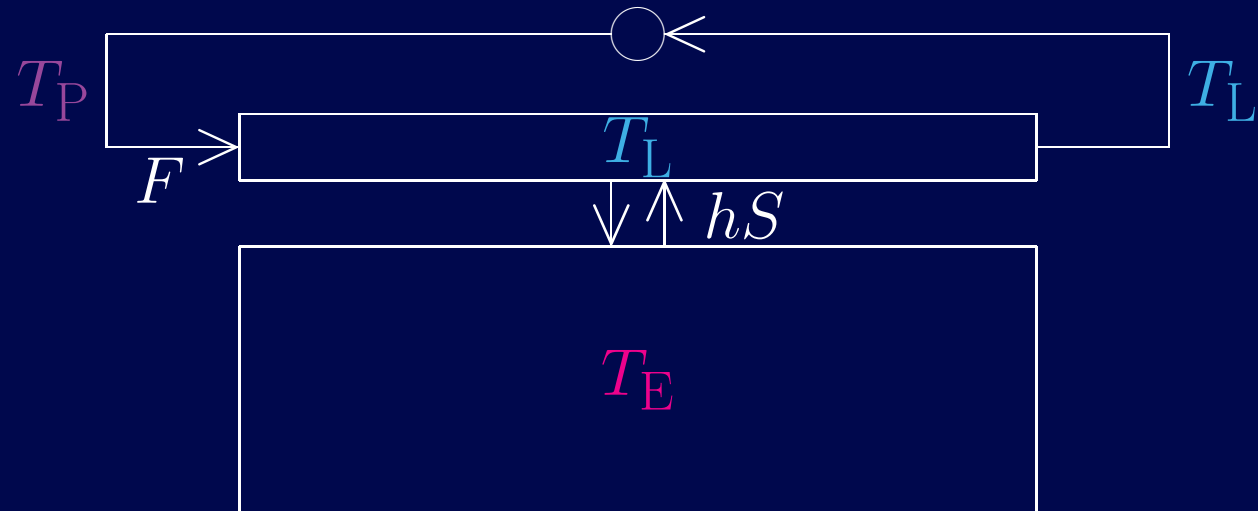
Vollständiger Fall: Fluss  $F > 0$ , Energiebilanz ist

$$\rho_L c_L V_L T'_L = E'_L = hS(T_E - T_L) + \rho_L c_L F(T_P - T_L)$$

$$\rho_E c_E V_E T'_E = E'_E = hS(T_L - T_E)$$

## Wärmetransport steigt mit dem Fluss

Pumpe →



← Leitung

← Erde

Vollständiger Fall: Fluss  $F > 0$ , Energiebilanz ist

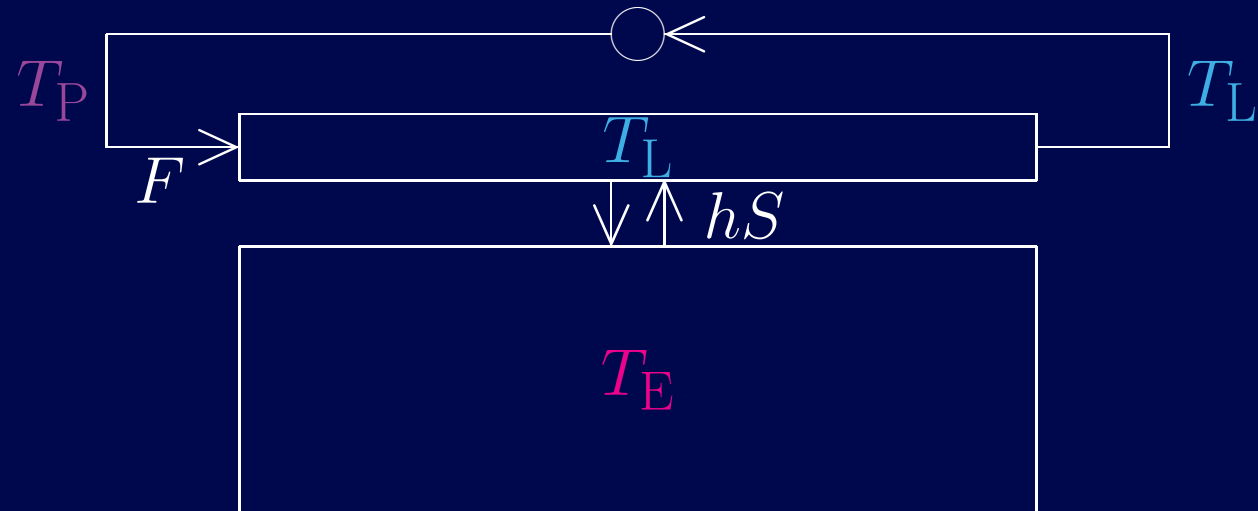
$$\rho_L c_L V_L T'_L = E'_L = hS(T_E - T_L) + \rho_L c_L F(T_P - T_L)$$

$$\rho_E c_E V_E T'_E = E'_E = hS(T_L - T_E)$$

Ergebnis:  $T_L, T_E \rightarrow T_P$  letztendlich.

## Wärmetransport steigt mit dem Fluss

Pumpe →



← Leitung

← Erde

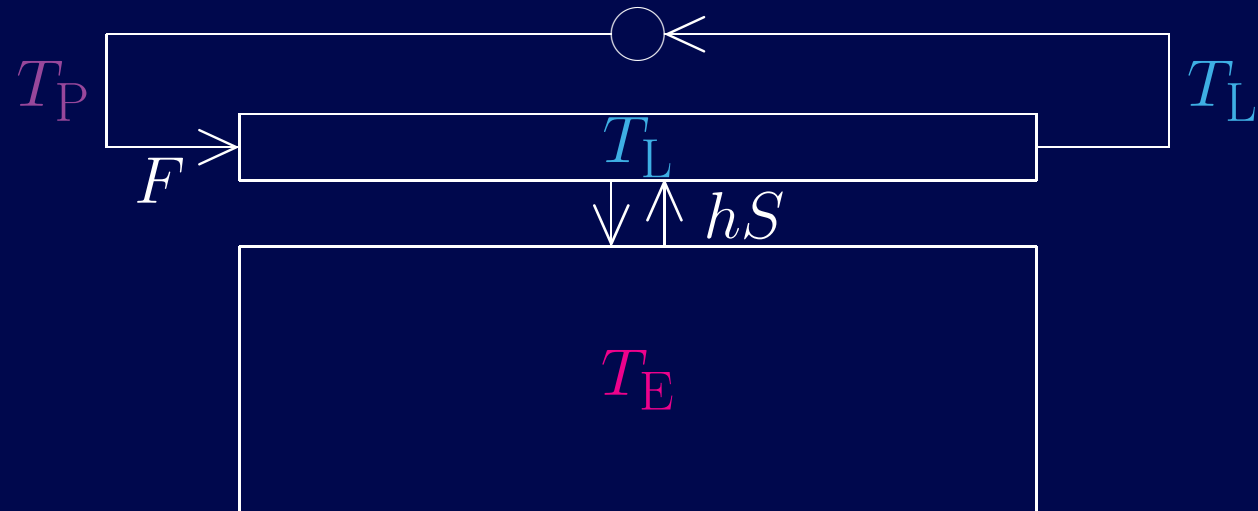
Extremer Fall: Fluss  $F \rightarrow \infty$ , Energiebilanz wird

$$\rho_L c_L V_L T'_L = E'_L = hS(T_E - T_L) + \rho_L c_L F(T_P - T_L)$$
$$(\rightarrow \infty) \quad (\rightarrow 0)$$

$$\rho_E c_E V_E T'_E = E'_E = hS(T_L - T_E)$$

## Wärmetransport steigt mit dem Fluss

Pumpe →



← Leitung

← Erde

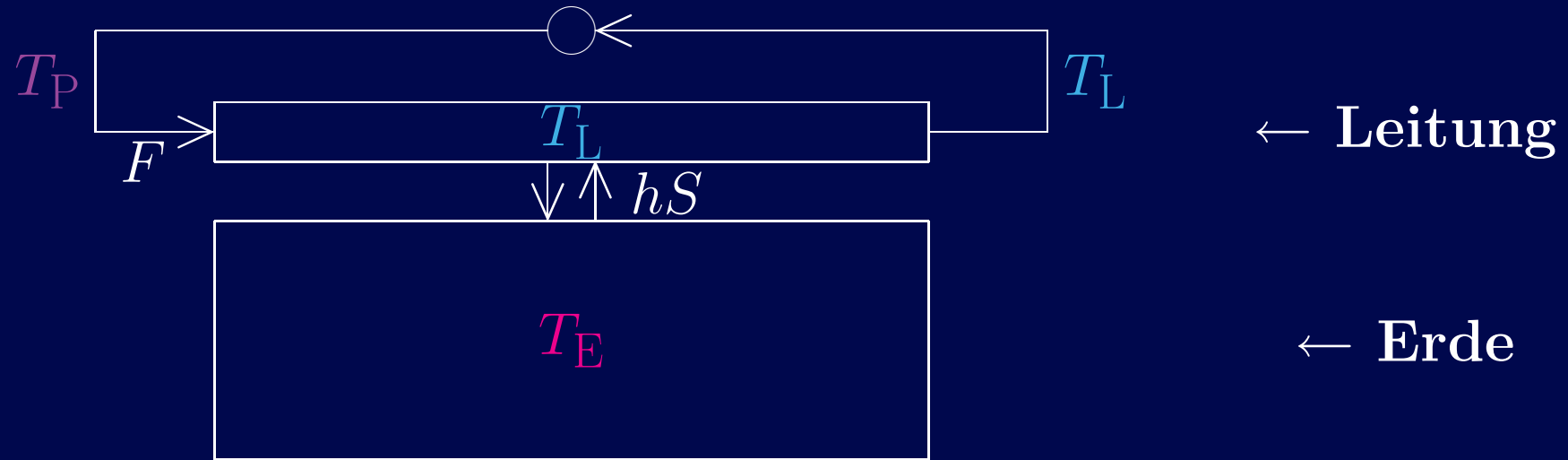
Extremer Fall: Fluss  $F \rightarrow \infty$ , Energiebilanz wird

$$\rho_{\text{L}} c_{\text{L}} V_{\text{L}} T'_{\text{L}} = E'_{\text{L}} = hS(T_{\text{E}} - T_{\text{L}}) + \rho_{\text{L}} c_{\text{L}} F (T_{\text{P}} - T_{\text{L}})$$
$$(\rightarrow \infty) \quad (\rightarrow 0)$$

$$\rho_{\text{E}} c_{\text{E}} V_{\text{E}} T'_{\text{E}} = E'_{\text{E}} = hS(T_{\text{L}} - T_{\text{E}}) \rightarrow hS(T_{\text{P}} - T_{\text{E}})$$

## Wärmetransport steigt mit dem Fluss

Pumpe →



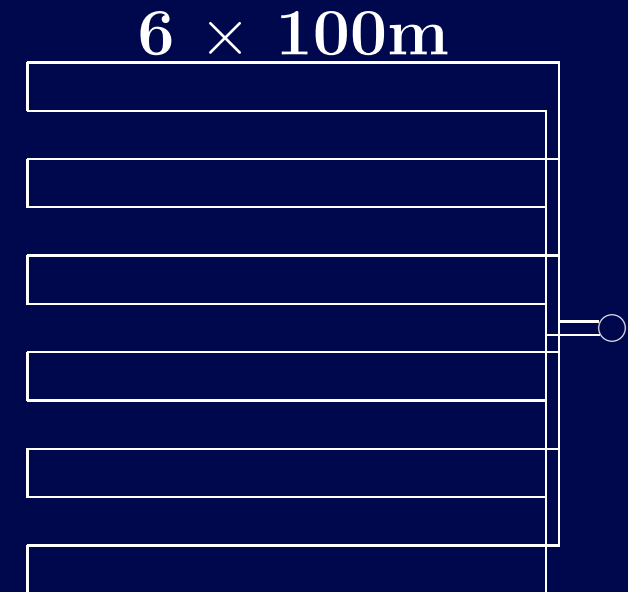
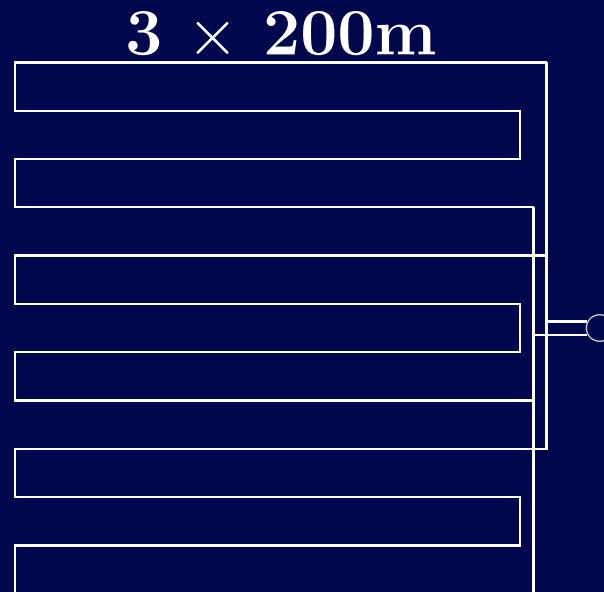
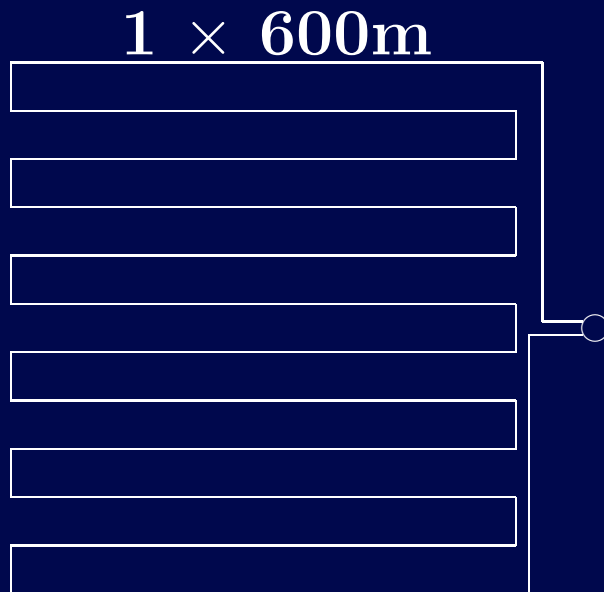
Extremer Fall: Fluss  $F \rightarrow \infty$ , Energiebilanz wird

$$\rho_{\text{L}} c_{\text{L}} V_{\text{L}} T'_{\text{L}} = E'_{\text{L}} = hS(T_{\text{E}} - T_{\text{L}}) + \rho_{\text{L}} c_{\text{L}} F (T_{\text{P}} - T_{\text{L}})$$
$$(\rightarrow \infty) \quad (\rightarrow 0)$$

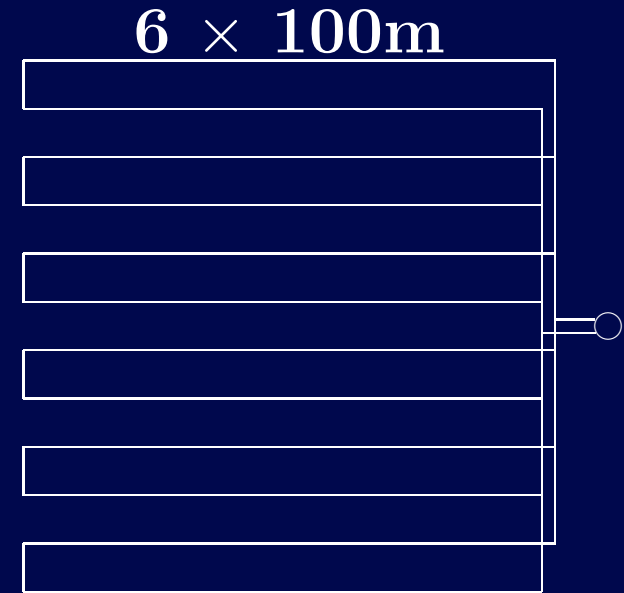
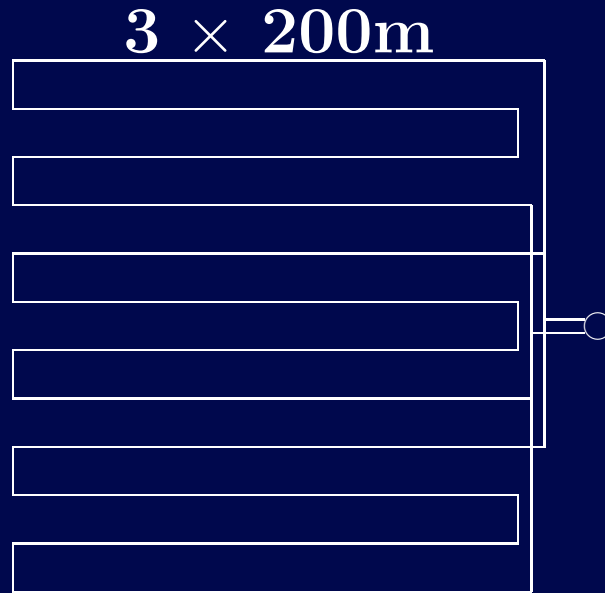
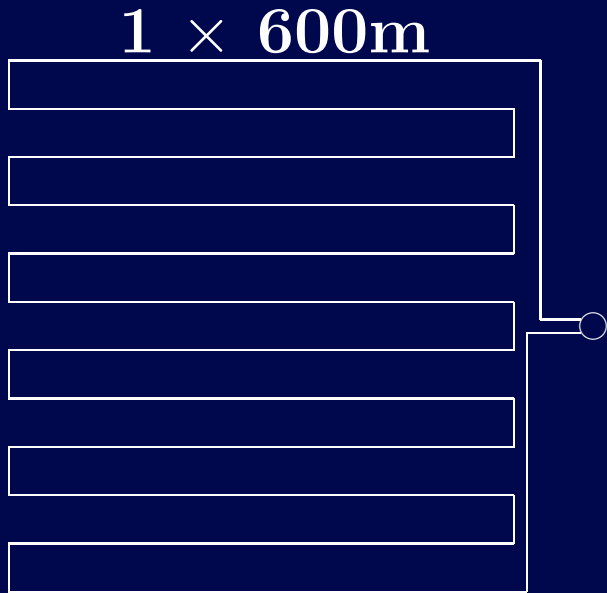
$$\rho_{\text{E}} c_{\text{E}} V_{\text{E}} T'_{\text{E}} = E'_{\text{E}} = hS(T_{\text{L}} - T_{\text{E}}) \rightarrow hS(T_{\text{P}} - T_{\text{E}})$$

Ergebnis:  $T_{\text{E}} \rightarrow T_{\text{P}} = T_{\text{L}}$  am schnellsten und Transport  $E'_{\text{E}} = \max.$

## Fluss steigt mit der Anzahl von parallelen Erdkollektoren

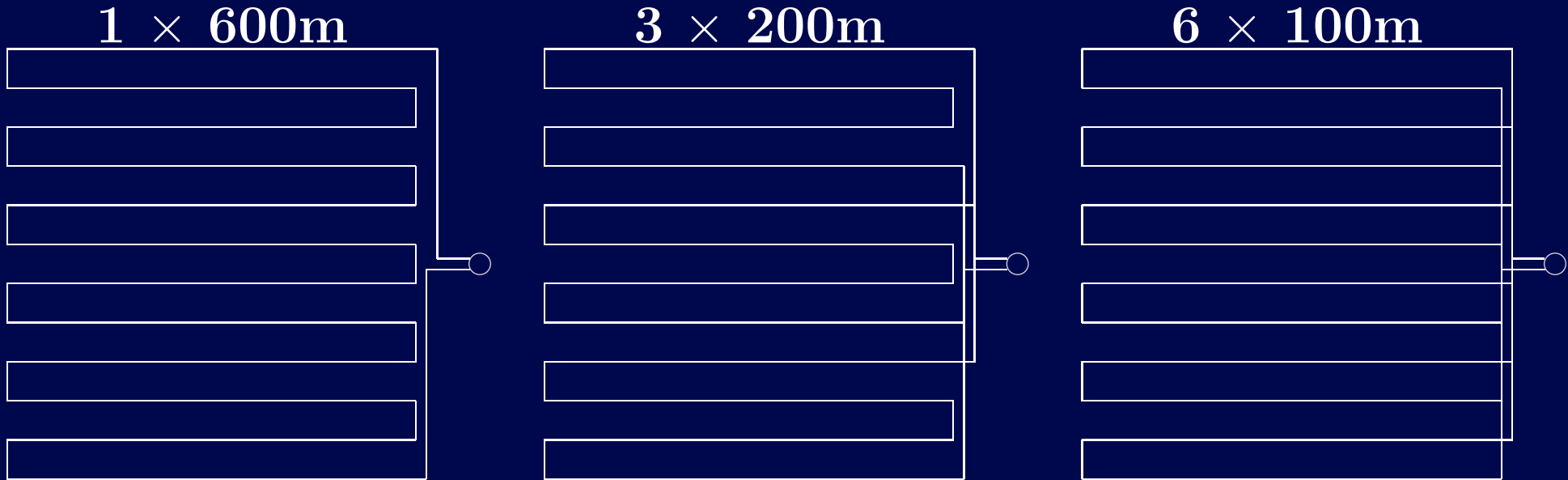


## Fluss steigt mit der Anzahl von parallelen Erdkollektoren



Das Ohmsche Gesetz:  $\Delta P = F_n \cdot W_n = f_i \cdot w_i$ .

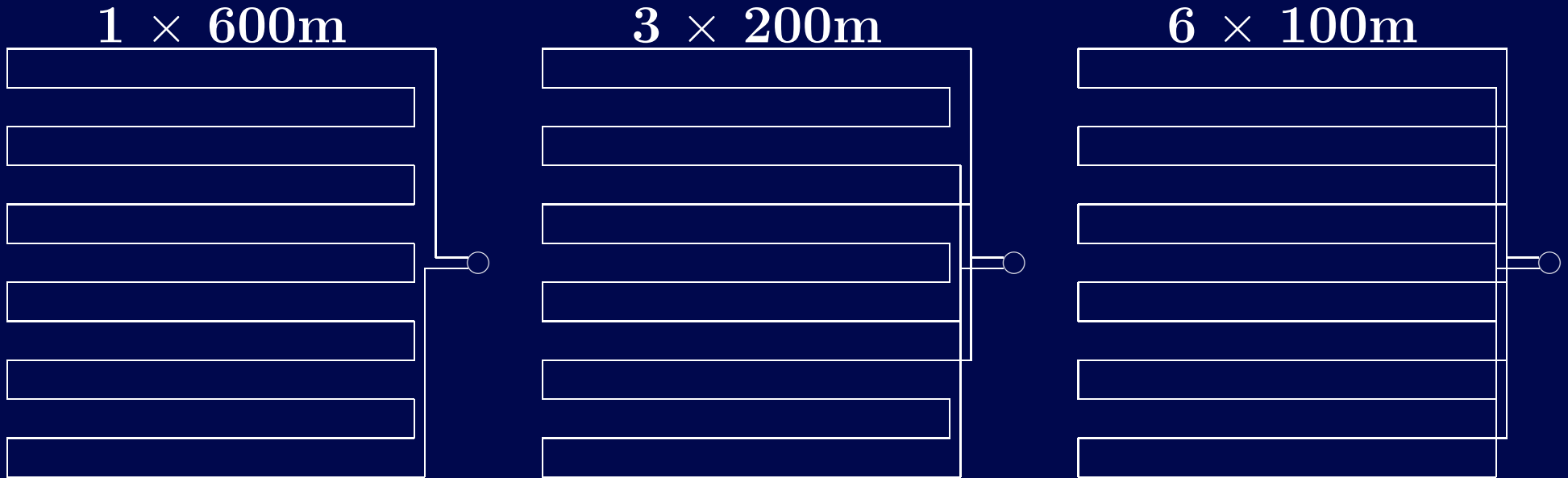
## Fluss steigt mit der Anzahl von parallelen Erdkollektoren



Das Ohmsche Gesetz:  $\Delta P = F_n \cdot W_n = f_i \cdot w_i$ .

Das Kirchhoffsche Gesetz:  $F_n = f_1 + f_2 + \dots + f_n$ .

## Fluss steigt mit der Anzahl von parallelen Erdkollektoren



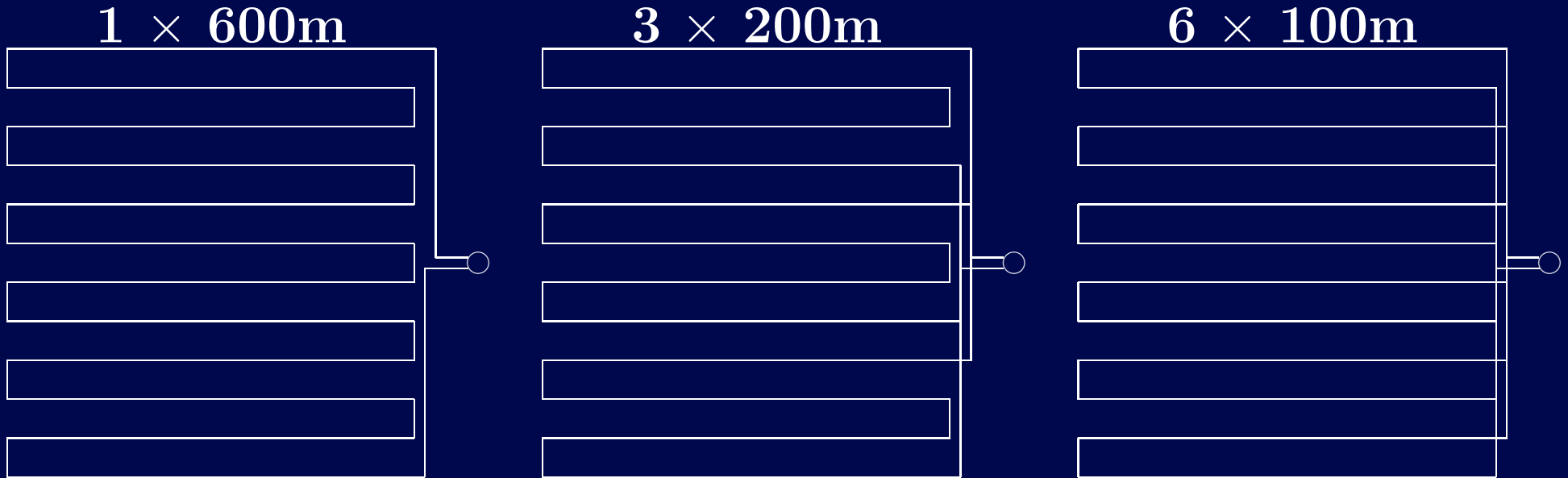
Das Ohmsche Gesetz:  $\Delta P = F_n \cdot W_n = f_i \cdot w_i$ .

Das Kirchhoffsche Gesetz:  $F_n = f_1 + f_2 + \dots + f_n$ .

Folglich:

$$\frac{1}{W_n} = \frac{F_n}{\Delta P} = \frac{f_1}{\Delta P} + \frac{f_2}{\Delta P} + \dots + \frac{f_n}{\Delta P} = \frac{1}{w_1} + \frac{1}{w_2} + \dots + \frac{1}{w_n}$$

## Fluss steigt mit der Anzahl von parallelen Erdkollektoren



Das Ohmsche Gesetz:  $\Delta P = F_n \cdot W_n = f_i \cdot w_i$ .

Das Kirchhoffsche Gesetz:  $F_n = f_1 + f_2 + \dots + f_n$ .

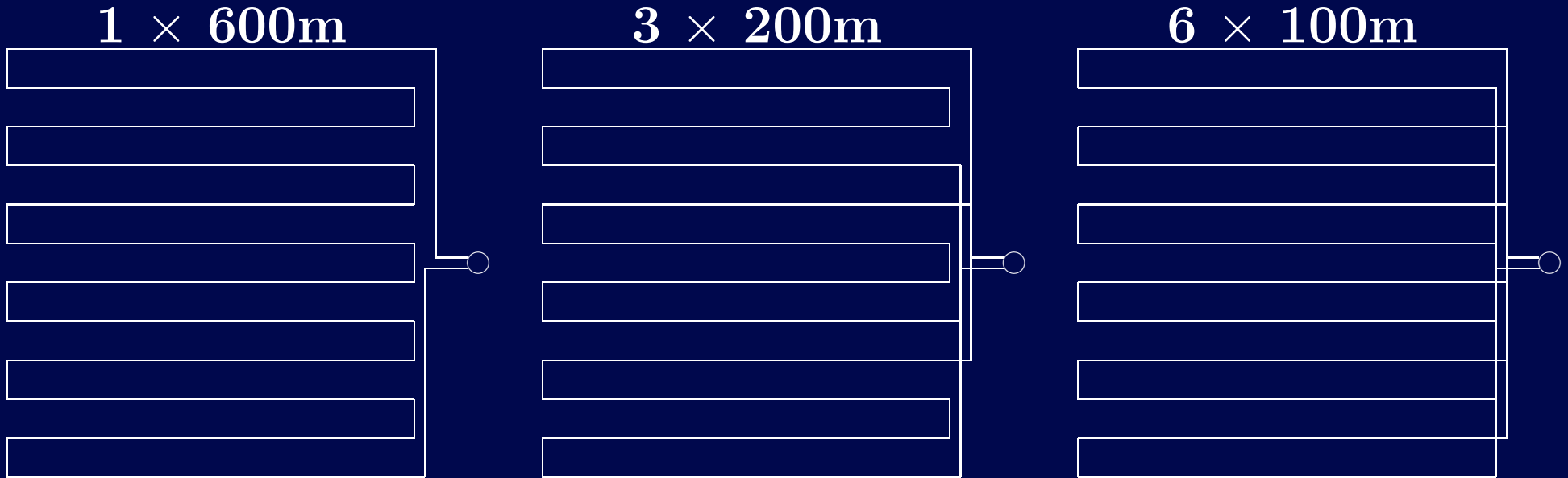
Folglich:

$$\frac{1}{W_n} = \frac{F_n}{\Delta P} = \frac{f_1}{\Delta P} + \frac{f_2}{\Delta P} + \dots + \frac{f_n}{\Delta P} = \frac{1}{w_1} + \frac{1}{w_2} + \dots + \frac{1}{w_n}$$

Mit  $n$  gleich langen parallelen Erdkollektoren,  $w_1 = W_1/n$  und:

$$\frac{1}{W_n} = n \times \frac{1}{W_1/n}$$

## Fluss steigt mit der Anzahl von parallelen Erdkollektoren



**Das Ohmsche Gesetz:**  $\Delta P = F_n \cdot W_n = f_i \cdot w_i$ .

**Das Kirchhoffsche Gesetz:**  $F_n = f_1 + f_2 + \dots + f_n$ .

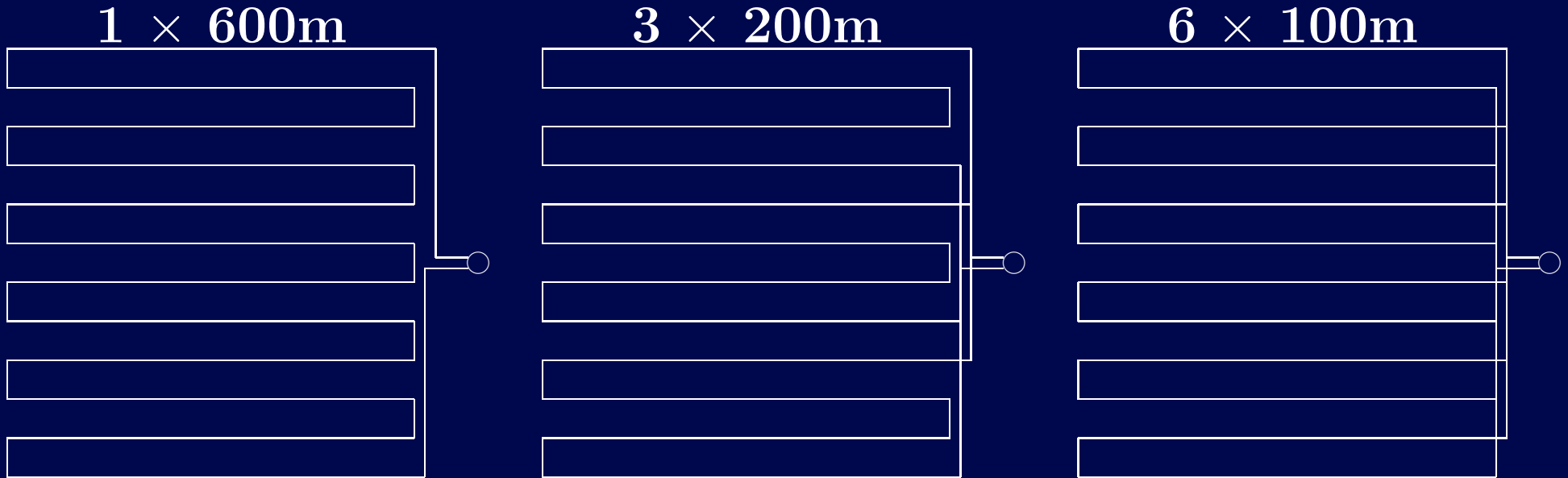
Folglich:

$$\frac{1}{W_n} = \frac{F_n}{\Delta P} = \frac{f_1}{\Delta P} + \frac{f_2}{\Delta P} + \dots + \frac{f_n}{\Delta P} = \frac{1}{w_1} + \frac{1}{w_2} + \dots + \frac{1}{w_n}$$

Mit  $n$  gleich langen parallelen Erdkollektoren,  $w_1 = W_1/n$  und:

$$\frac{1}{W_n} = n \times \frac{1}{W_1/n} \quad \Rightarrow \quad W_n = \frac{W_1}{n^2},$$

## Fluss steigt mit der Anzahl von parallelen Erdkollektoren



Das Ohmsche Gesetz:  $\Delta P = F_n \cdot W_n = f_i \cdot w_i$ .

Das Kirchhoffsche Gesetz:  $F_n = f_1 + f_2 + \dots + f_n$ .

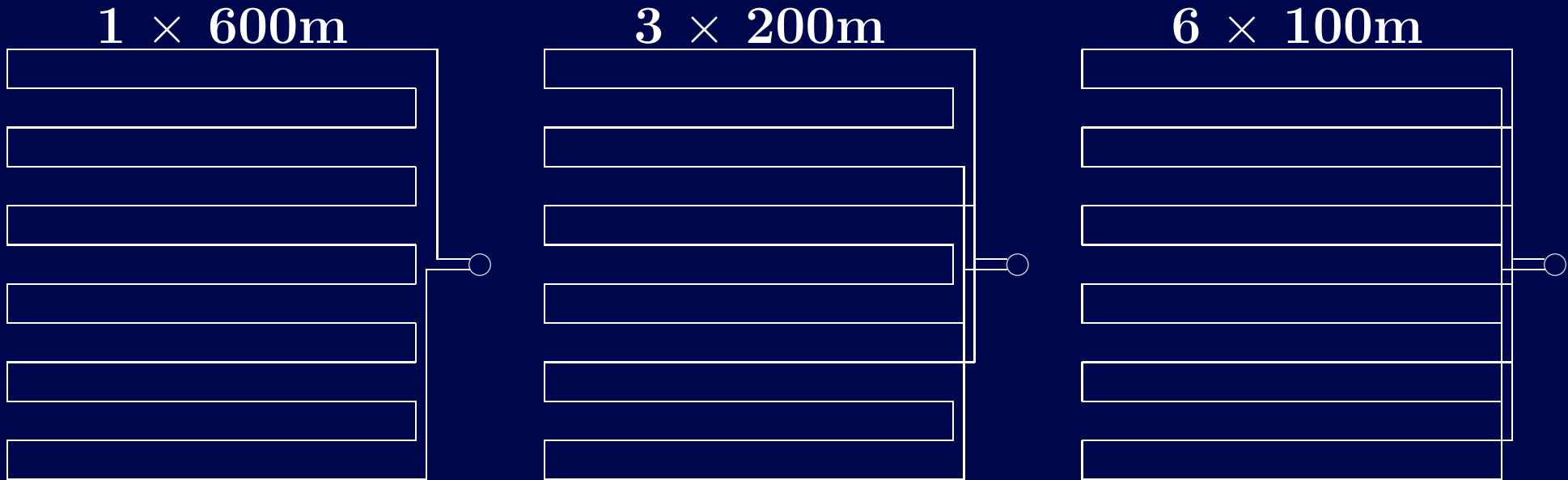
Folglich:

$$\frac{1}{W_n} = \frac{F_n}{\Delta P} = \frac{f_1}{\Delta P} + \frac{f_2}{\Delta P} + \dots + \frac{f_n}{\Delta P} = \frac{1}{w_1} + \frac{1}{w_2} + \dots + \frac{1}{w_n}$$

Mit  $n$  gleich langen parallelen Erdkollektoren,  $w_1 = W_1/n$  und:

$$\frac{1}{W_n} = n \times \frac{1}{W_1/n} \quad \Rightarrow \quad W_n = \frac{W_1}{n^2}, \quad F_n = \frac{\Delta P}{W_n} = \frac{n^2 \Delta P}{W_1} = n^2 F_1$$

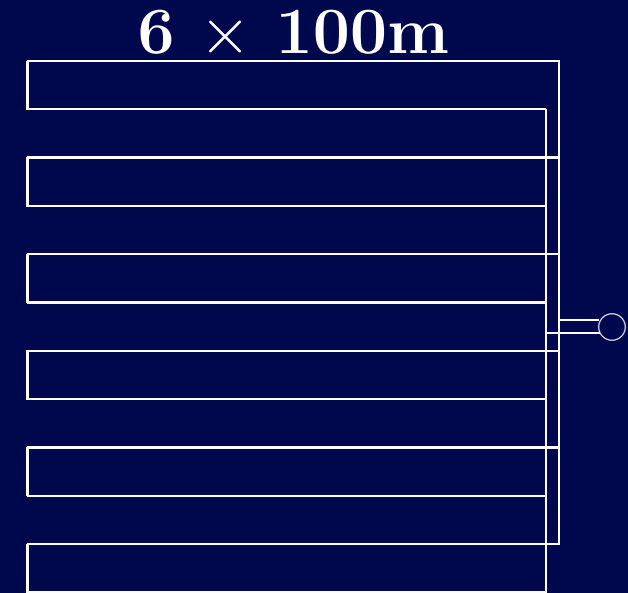
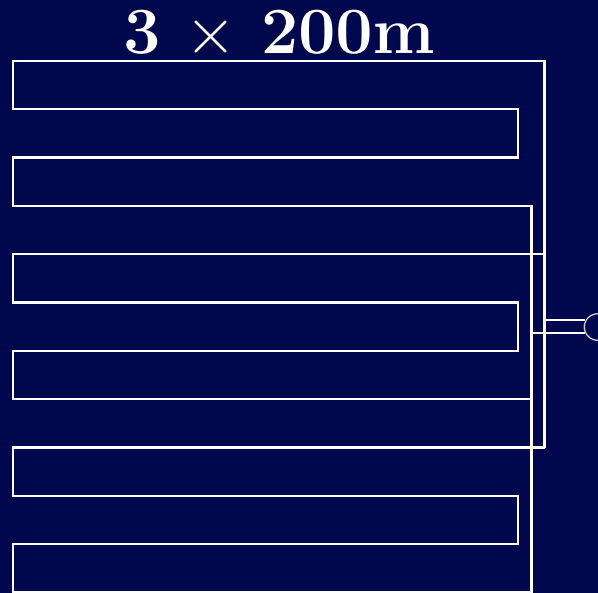
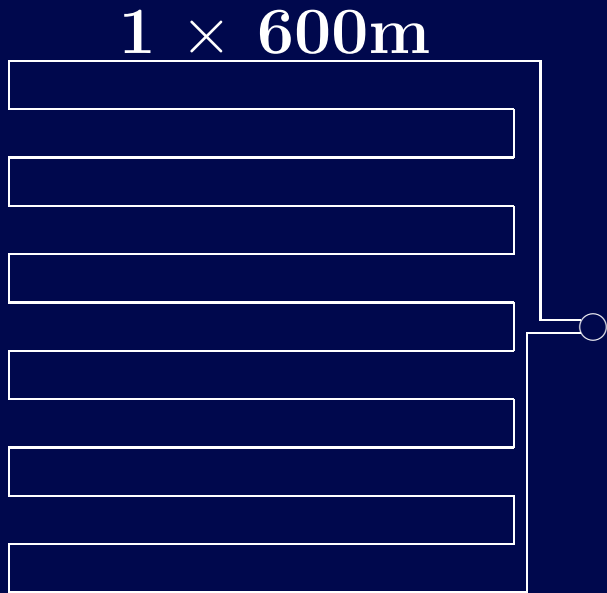
## Fluss steigt mit der Anzahl von parallelen Erdkollektoren



Mit  $n$  gleich langen parallelen Erdkollektoren:

$$W_n = \frac{W_1}{n^2}, \quad F_n = n^2 F_1$$

## Fluss steigt mit der Anzahl von parallelen Erdkollektoren



Mit  $n$  gleich langen parallelen Erdkollektoren:

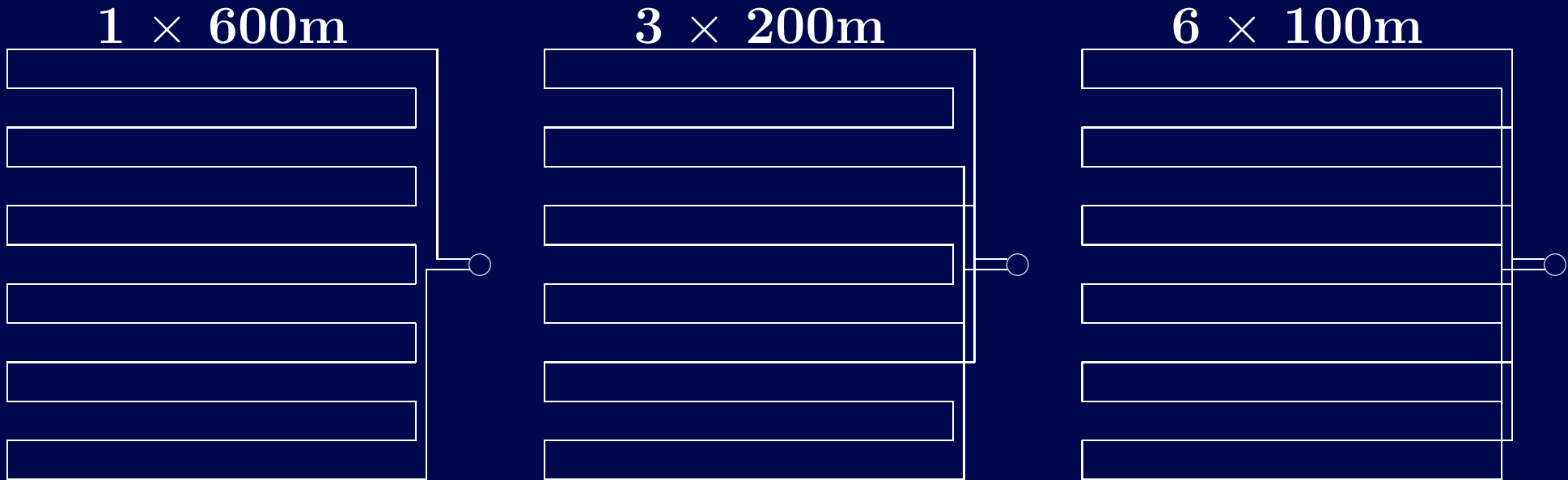
$$W_n = \frac{W_1}{n^2}, \quad F_n = n^2 F_1$$

Also gelten:

$$W_1 = W_1$$

$$F_1 = F_1$$

## Fluss steigt mit der Anzahl von parallelen Erdkollektoren



Mit  $n$  gleich langen parallelen Erdkollektoren:

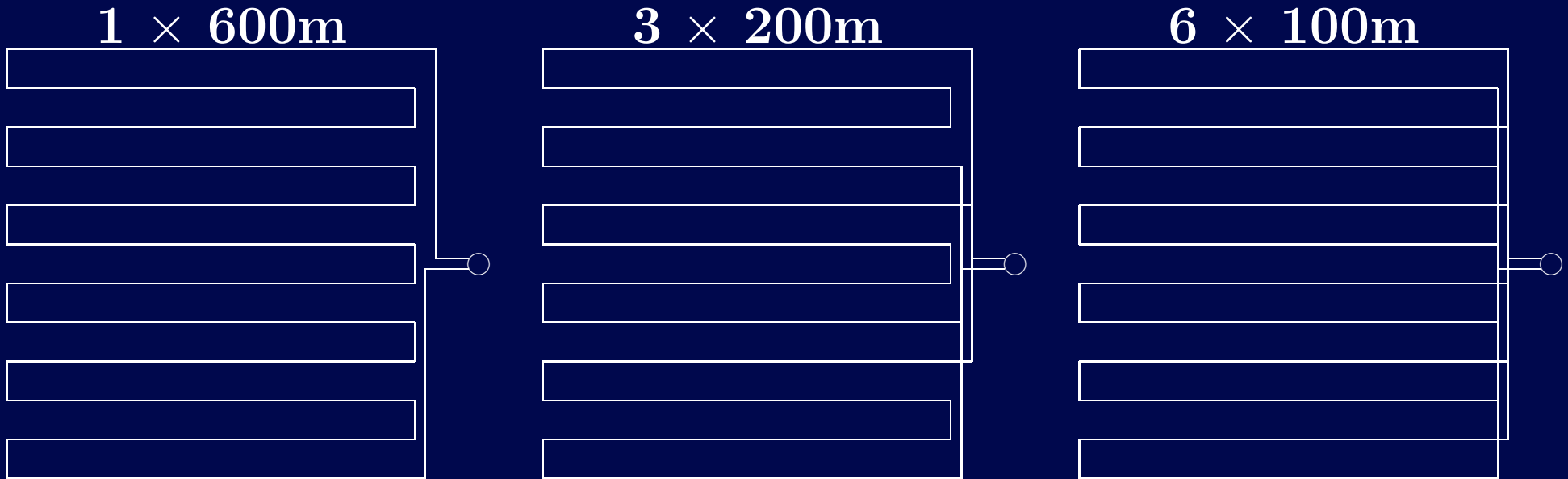
$$W_n = \frac{W_1}{n^2}, \quad F_n = n^2 F_1$$

Also gelten:

$$\begin{aligned} W_1 &= W_1 \\ F_1 &= F_1 \end{aligned}$$

$$\begin{aligned} W_3 &= W_1/9 \\ F_3 &= 9F_1 \end{aligned}$$

## Fluss steigt mit der Anzahl von parallelen Erdkollektoren



Mit  $n$  gleich langen parallelen Erdkollektoren:

$$W_n = \frac{W_1}{n^2}, \quad F_n = n^2 F_1$$

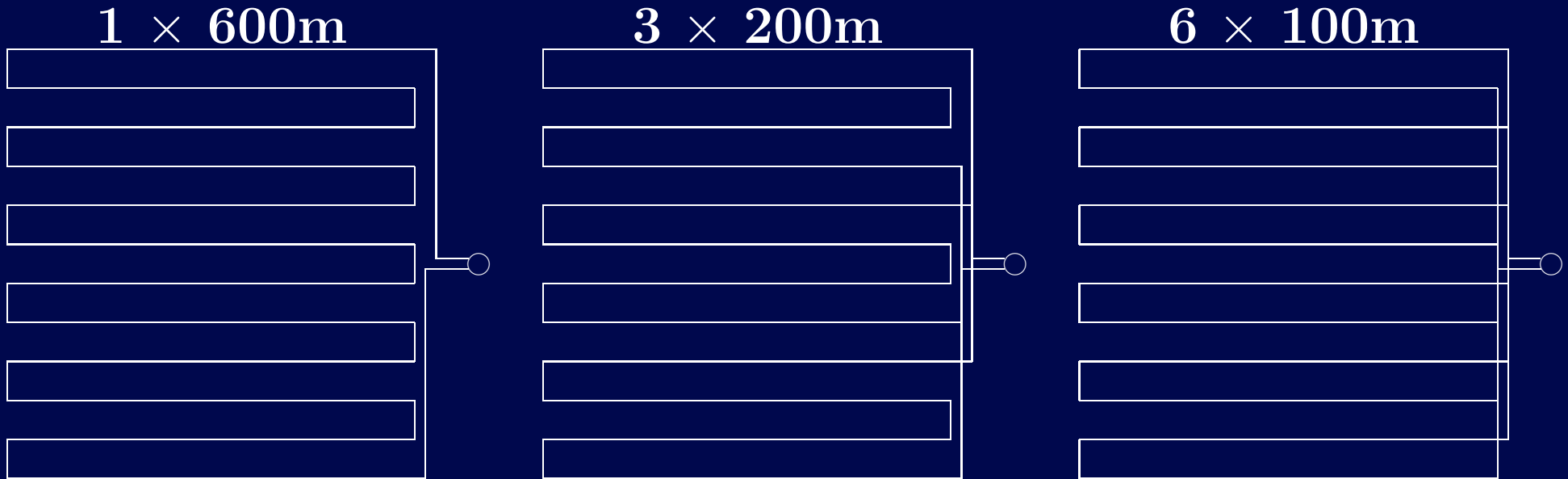
Also gelten:

$$\begin{aligned} W_1 &= W_1 \\ F_1 &= F_1 \end{aligned}$$

$$\begin{aligned} W_3 &= W_1/9 \\ F_3 &= 9F_1 \end{aligned}$$

$$\begin{aligned} W_6 &= W_1/36 \\ F_6 &= 36F_1 \end{aligned}$$

## Fluss steigt mit der Anzahl von parallelen Erdkollektoren



Mit  $n$  gleich langen parallelen Erdkollektoren:

$$W_n = \frac{W_1}{n^2}, \quad F_n = n^2 F_1$$

Also gelten:

$$W_1 = W_1$$

$$F_1 = F_1$$

$$W_3 = W_1/9$$

$$F_3 = 9F_1$$

$$W_6 = W_1/36$$

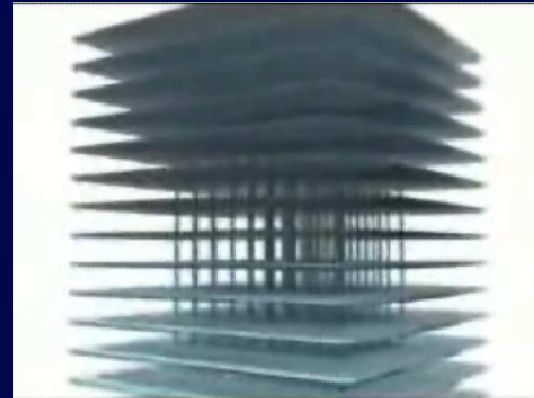
$$F_6 = 36F_1$$

Fluss mit  $6 \times 100\text{m}$  ist  $36 \times$  höher als mit  $1 \times 600\text{m}!$

# Modellierungsprojekt in einer aktuellen Vorlesung



WTC7

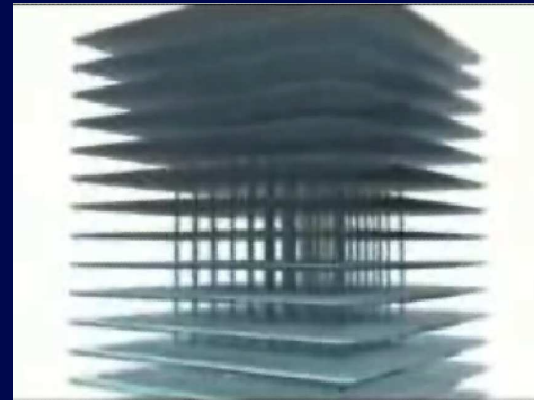


WTC1/2 Pfannkuchen-Modell

# Modellierungsprojekt in einer aktuellen Vorlesung



WTC7



WTC1/2 Pfannkuchen-Modell



Steven Jones, BYU



Kevin Ryan, UL

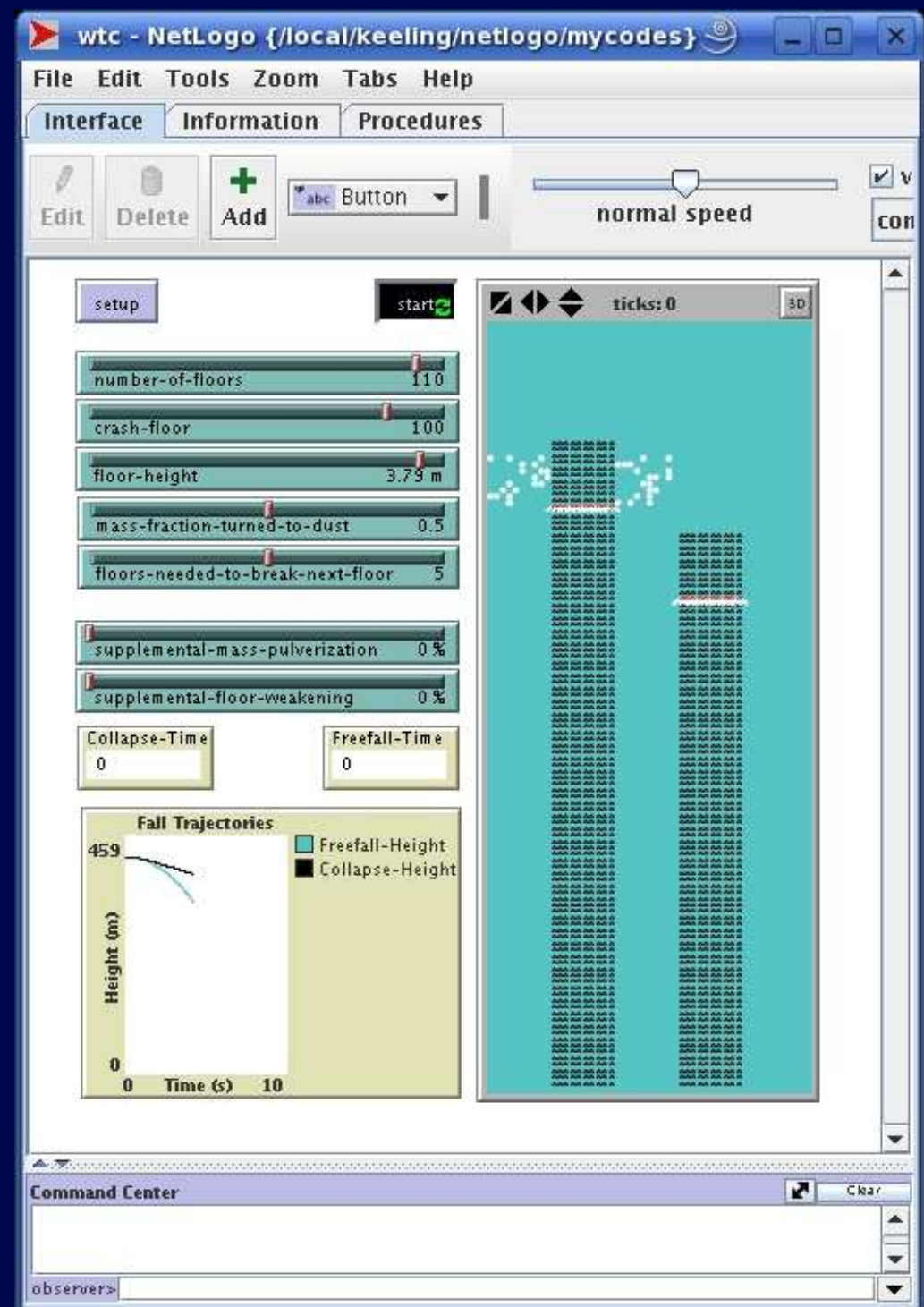


<http://www.journalof911studies.com/>

# Das Projekt-Ergebnis

Netlogo Code:

wtc.nlogo



# Das Projekt-Ergebnis

Netlogo Code:

wtc.nlogo

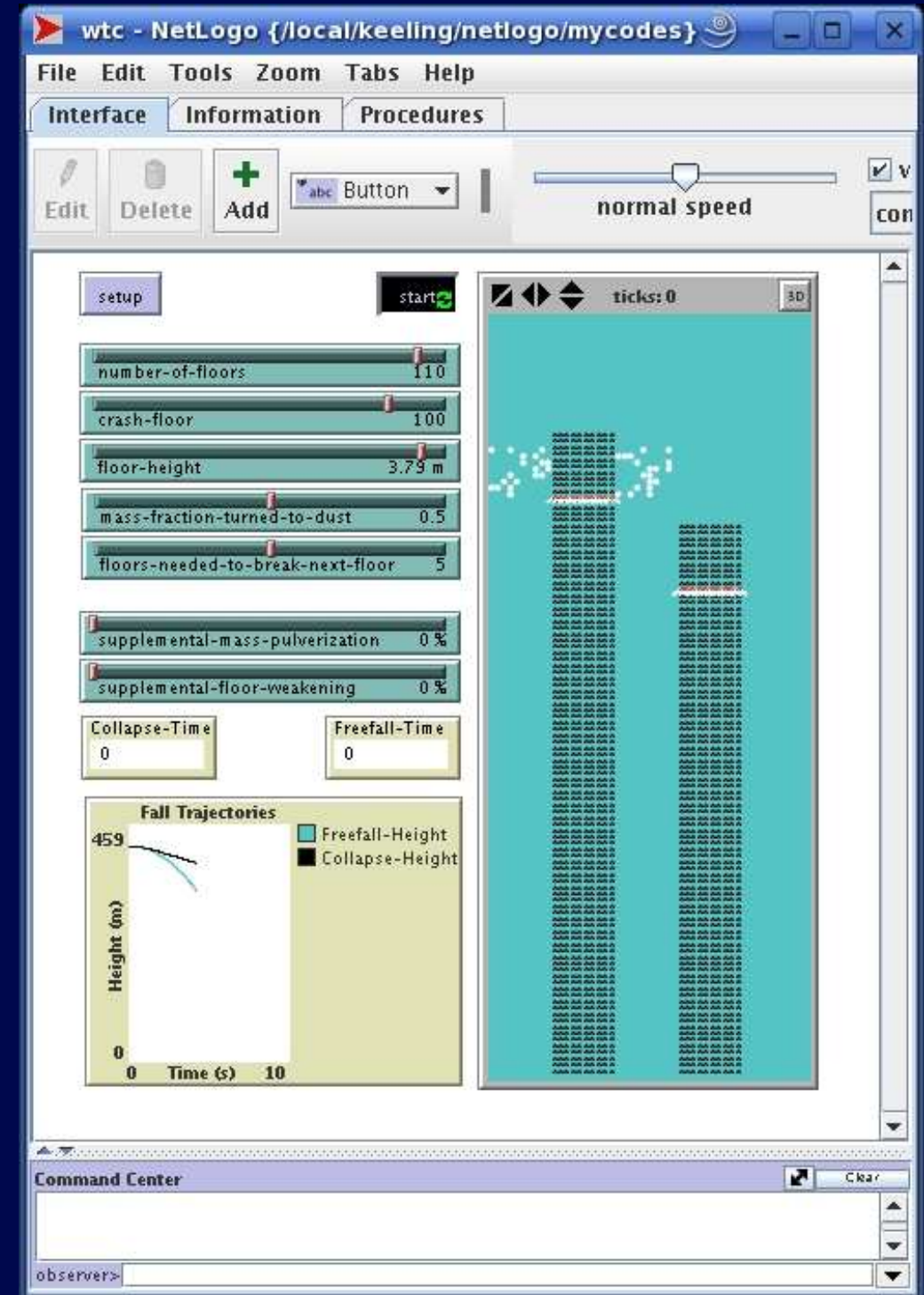
auch in MATLAB:

wtc.m

und in EXCEL:

wtc.xls

von Daniel Smertnig



# Das Projekt-Ergebnis

Netlogo Code:

wtc.nlogo

auch in MATLAB:

wtc.m

und in EXCEL:

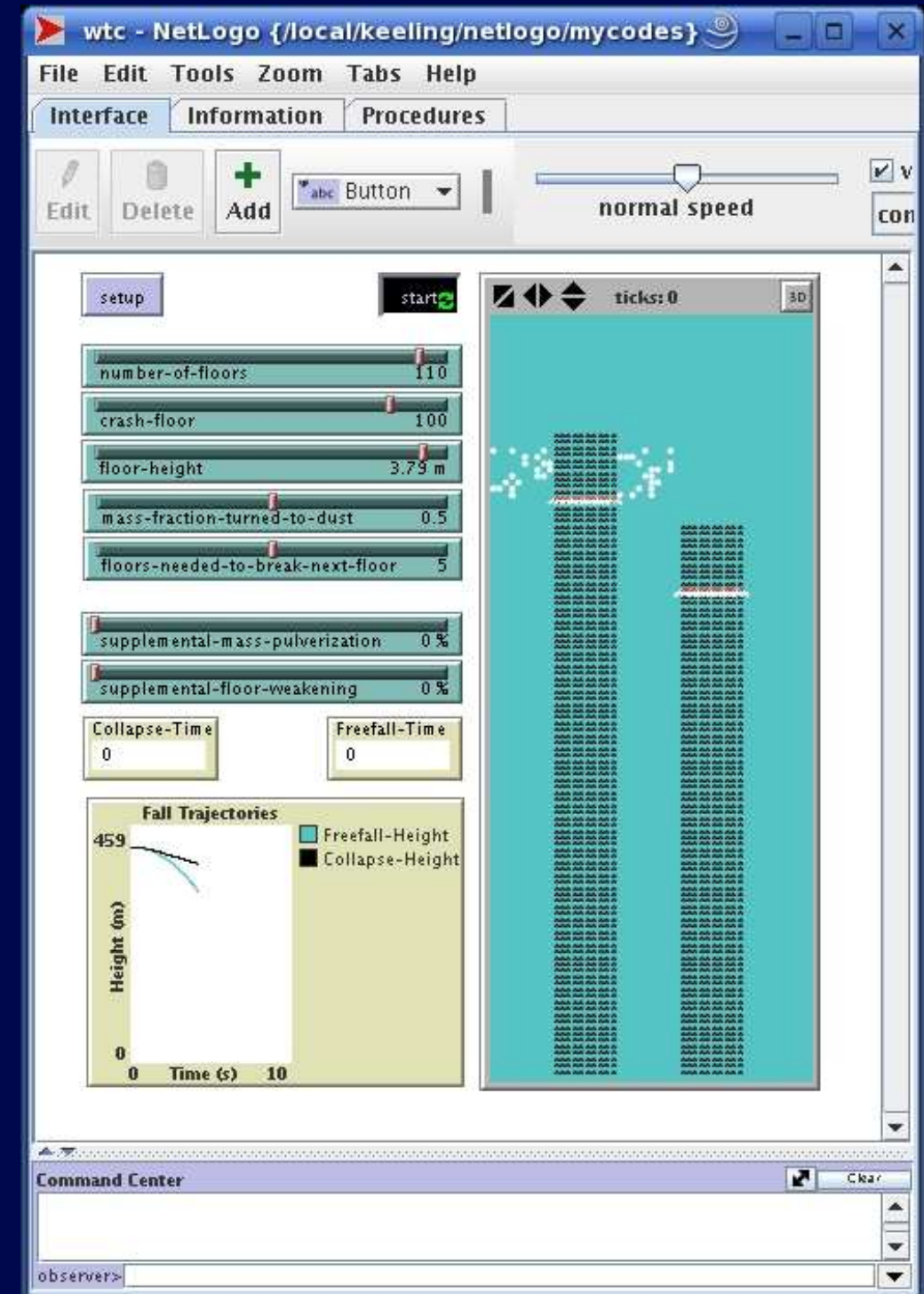
wtc.xls

von Daniel Smertnig

Webseite:

<http://math.uni-graz.at/keeling/>

wtc.html



# Das Projekt-Ergebnis

Netlogo Code:

wtc.nlogo

auch in MATLAB:

wtc.m

und in EXCEL:

wtc.xls

von Daniel Smertnig

Webseite:

<http://math.uni-graz.at/keeling/>

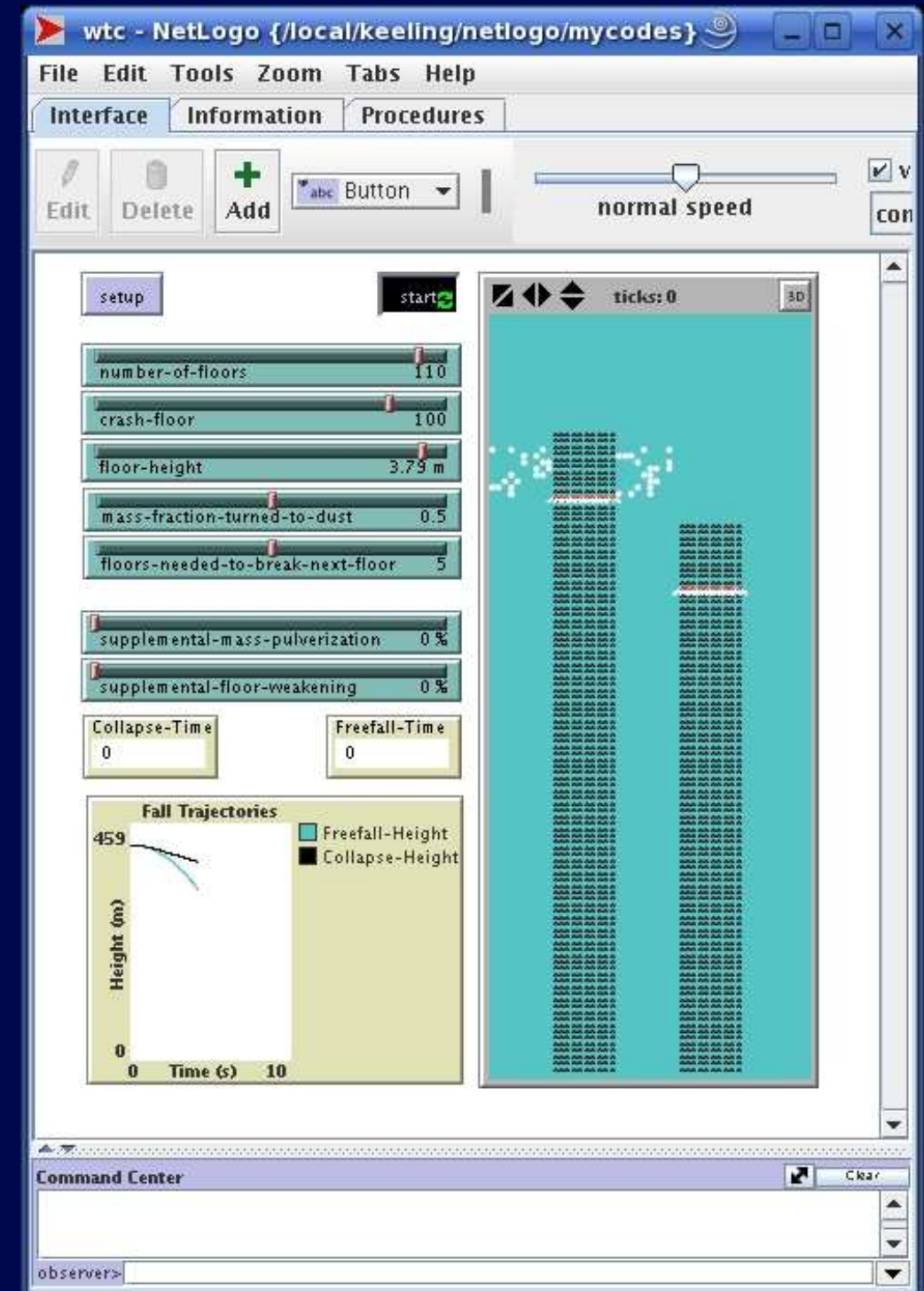
wtc.html

Beschreibung:

wtc1.html

und Herleitung:

wtc2.html



# Das Projekt-Ergebnis

Netlogo Code:

wtc.nlogo

auch in MATLAB:

wtc.m

und in EXCEL:

wtc.xls

von Daniel Smertnig

Webseite:

<http://math.uni-graz.at/keeling/>

wtc.html

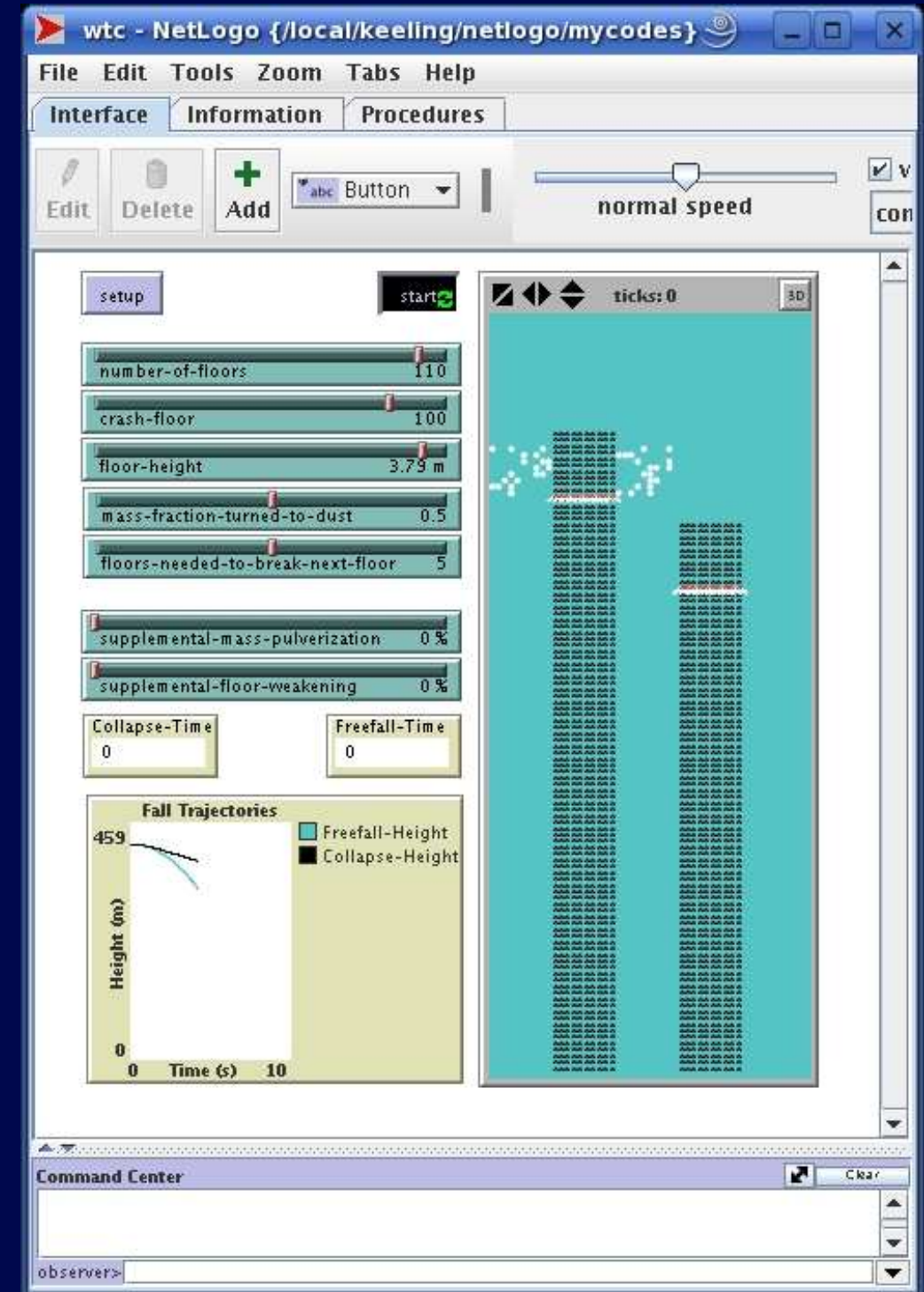
Beschreibung:

wtc1.html

und Herleitung:

wtc2.html

Einladung einzureichen beim  
Journal of 911 Studies



# Einführung in die Erhaltungssätze

Zwei Massen treffen einander ohne Schwerkraft.

# Einführung in die Erhaltungssätze

Zwei Massen treffen einander ohne Schwerkraft.

Massenerhaltung:

$$m_1 + m_2 = \tilde{m}_1 + \tilde{m}_2$$

# Einführung in die Erhaltungssätze

Zwei Massen treffen einander ohne Schwerkraft.

**Massenerhaltung:**  $m_1 + m_2 = \tilde{m}_1 + \tilde{m}_2$

**Impulserhaltung:**  $v_1 m_1 + v_2 m_2 = \tilde{v}_1 \tilde{m}_1 + \tilde{v}_2 \tilde{m}_2$

# Einführung in die Erhaltungssätze

Zwei Massen treffen einander ohne Schwerkraft.

**Massenerhaltung:**  $m_1 + m_2 = \tilde{m}_1 + \tilde{m}_2$

**Impulserhaltung:**  $\mathbf{v}_1 m_1 + \mathbf{v}_2 m_2 = \tilde{\mathbf{v}}_1 \tilde{m}_1 + \tilde{\mathbf{v}}_2 \tilde{m}_2$

**Energieerhaltung:**  $\frac{1}{2} |\mathbf{v}_1|^2 m_1 + \frac{1}{2} |\mathbf{v}_2|^2 m_2 = \frac{1}{2} |\tilde{\mathbf{v}}_1|^2 \tilde{m}_1 + \frac{1}{2} |\tilde{\mathbf{v}}_2|^2 \tilde{m}_2$

# Einführung in die Erhaltungssätze

Zwei Massen treffen einander ohne Schwerkraft.

**Massenerhaltung:**

$$m_1 + m_2 = \tilde{m}_1 + \tilde{m}_2$$

**Impulserhaltung:**

$$\mathbf{v}_1 m_1 + \mathbf{v}_2 m_2 = \tilde{\mathbf{v}}_1 \tilde{m}_1 + \tilde{\mathbf{v}}_2 \tilde{m}_2$$

**Energieerhaltung:**

$$\frac{1}{2} |\mathbf{v}_1|^2 m_1 + \frac{1}{2} |\mathbf{v}_2|^2 m_2 = \frac{1}{2} |\tilde{\mathbf{v}}_1|^2 \tilde{m}_1 + \frac{1}{2} |\tilde{\mathbf{v}}_2|^2 \tilde{m}_2$$

Berechne  $\tilde{\mathbf{v}}_i$  wenn  $m_i = \tilde{m}_i$ :

$$\tilde{\mathbf{v}}_i = \mathbf{v}_S - (\mathbf{v}_i - \mathbf{v}_S)$$

wobei für den Schwerpunkt  $\mathbf{v}_S = (\mathbf{v}_1 m_1 + \mathbf{v}_2 m_2) / (m_1 + m_2)$ .

## Das WTC Modell

- Zur Zeit  $t_1$  ist Masse  $m_1$  im freien Fall mit Geschwindigkeit  $u_1 < 0$ .

## Das WTC Modell

- Zur Zeit  $t_1$  ist Masse  $m_1$  im freien Fall mit Geschwindigkeit  $u_1 < 0$ .
- Masse  $m_1$  fällt von Höhe  $h$  zur Masse  $m_2$ .

## Das WTC Modell

- Zur Zeit  $t_1$  ist Masse  $m_1$  im freien Fall mit Geschwindigkeit  $u_1 < 0$ .
- Masse  $m_1$  fällt von Höhe  $h$  zur Masse  $m_2$ .
- Die Dauer des Falls ist:

$$t_2 = t_1 + [u_1 + \sqrt{u_1^2 + 2gh}]/g$$

## Das WTC Modell

- Zur Zeit  $t_1$  ist Masse  $m_1$  im freien Fall mit Geschwindigkeit  $u_1 < 0$ .
- Masse  $m_1$  fällt von Höhe  $h$  zur Masse  $m_2$ .
- Die Dauer des Falls ist:

$$t_2 = t_1 + [u_1 + \sqrt{u_1^2 + 2gh}]/g$$

- Die Geschwindigkeiten der Massen knapp vor der Kollision sind:

$$v_1 = -\sqrt{u_1^2 + 2gh}, \quad v_2 = 0$$

## Das WTC Modell

- Zur Zeit  $t_1$  ist Masse  $m_1$  im freien Fall mit Geschwindigkeit  $u_1 < 0$ .
- Masse  $m_1$  fällt von Höhe  $h$  zur Masse  $m_2$ .
- Die Dauer des Falls ist:

$$t_2 = t_1 + [u_1 + \sqrt{u_1^2 + 2gh}]/g$$

- Die Geschwindigkeiten der Massen knapp vor der Kollision sind:

$$v_1 = -\sqrt{u_1^2 + 2gh}, \quad v_2 = 0$$

- Von der Kollision wird der Bruchteil  $\sigma$  von der Masse  $m_2$  verstaubt und zufällig gestreut:

$$m_2 \rightarrow (1 - \sigma)m_2 + \sigma m_2, \quad \sigma m_2 = \sum_{l>2} m_l, \quad \sum_{l>2} \tilde{v}_l m_l = 0$$

## Das WTC Modell

- Zur Zeit  $t_1$  ist Masse  $m_1$  im freien Fall mit Geschwindigkeit  $u_1 < 0$ .
- Masse  $m_1$  fällt von Höhe  $h$  zur Masse  $m_2$ .
- Die Dauer des Falls ist:

$$t_2 = t_1 + [u_1 + \sqrt{u_1^2 + 2gh}]/g$$

- Die Geschwindigkeiten der Massen knapp vor der Kollision sind:

$$v_1 = -\sqrt{u_1^2 + 2gh}, \quad v_2 = 0$$

- Von der Kollision wird der Bruchteil  $\sigma$  von der Masse  $m_2$  verstaubt und zufällig gestreut:

$$m_2 \rightarrow (1 - \sigma)m_2 + \sigma m_2, \quad \sigma m_2 = \sum_{l>2} m_l, \quad \sum_{l>2} \tilde{v}_l m_l = 0$$

- Von Massenerhaltung ist die neue Masse im freien Fall:

$$m_1 + (1 - \sigma)m_2$$

## Das WTC Modell

- Sei  $\Delta p_0 \delta(t - t_2)$  die wirkende Reserve-Befestigungskraft in dem Moment  $t = t_2$  der Kollision.

## Das WTC Modell

- Sei  $\Delta p_0 \delta(t - t_2)$  die wirkende Reserve-Befestigungskraft in dem Moment  $t = t_2$  der Kollision.
- D.h. wenn der Impuls  $m_1 v_1$  der fallenden Masse kleiner als  $\Delta p_0$  ist, gibt es keine weitere Bewegung.

## Das WTC Modell

- Sei  $\Delta p_0 \delta(t - t_2)$  die wirkende Reserve-Befestigungskraft in dem Moment  $t = t_2$  der Kollision.
- D.h. wenn der Impuls  $m_1 v_1$  der fallenden Masse kleiner als  $\Delta p_0$  ist, gibt es keine weitere Bewegung.
- Von Impulserhaltung,

$$\begin{aligned}\Delta p_0 + v_1 m_1 + v_2 m_2 &= \tilde{v}_1 \tilde{m}_1 + \tilde{v}_2 \tilde{m}_2 + \sum_{l>2} \tilde{v}_l \tilde{m}_l \\ \Delta p_0 + v_1 m_1 &= \tilde{v}_1 \tilde{m}_1 + \tilde{v}_1 (1 - \sigma) m_2\end{aligned}$$

## Das WTC Modell

- Sei  $\Delta p_0 \delta(t - t_2)$  die wirkende Reserve-Befestigungskraft in dem Moment  $t = t_2$  der Kollision.
- D.h. wenn der Impuls  $m_1 v_1$  der fallenden Masse kleiner als  $\Delta p_0$  ist, gibt es keine weitere Bewegung.
- Von Impulserhaltung,

$$\begin{aligned}\Delta p_0 + v_1 m_1 + v_2 m_2 &= \tilde{v}_1 \tilde{m}_1 + \tilde{v}_2 \tilde{m}_2 + \sum_{l>2} \tilde{v}_l \tilde{m}_l \\ \Delta p_0 + v_1 m_1 &= \tilde{v}_1 \tilde{m}_1 + \tilde{v}_1 (1 - \sigma) m_2\end{aligned}$$

ist die neue Geschwindigkeit der Masse im freien Fall:

$$\tilde{v}_1 = [m_1 v_1 + \Delta p_0] / [m_1 + (1 - \sigma) m_2]$$

## Das WTC Modell

- Sei  $\Delta p_0 \delta(t - t_2)$  die wirkende Reserve-Befestigungskraft in dem Moment  $t = t_2$  der Kollision.
- D.h. wenn der Impuls  $m_1 v_1$  der fallenden Masse kleiner als  $\Delta p_0$  ist, gibt es keine weitere Bewegung.
- Von Impulserhaltung,

$$\begin{aligned}\Delta p_0 + v_1 m_1 + v_2 m_2 &= \tilde{v}_1 \tilde{m}_1 + \tilde{v}_2 \tilde{m}_2 + \sum_{l>2} \tilde{v}_l \tilde{m}_l \\ \Delta p_0 + v_1 m_1 &= \tilde{v}_1 \tilde{m}_1 + \tilde{v}_1 (1 - \sigma) m_2\end{aligned}$$

ist die neue Geschwindigkeit der Masse im freien Fall:

$$\tilde{v}_1 = [m_1 v_1 + \Delta p_0] / [m_1 + (1 - \sigma) m_2]$$

- Zusammenfassung:

## Das WTC Modell

- Sei  $\Delta p_0 \delta(t - t_2)$  die wirkende Reserve-Befestigungskraft in dem Moment  $t = t_2$  der Kollision.
- D.h. wenn der Impuls  $m_1 v_1$  der fallenden Masse kleiner als  $\Delta p_0$  ist, gibt es keine weitere Bewegung.
- Von Impulserhaltung,

$$\begin{aligned}\Delta p_0 + v_1 m_1 + v_2 m_2 &= \tilde{v}_1 \tilde{m}_1 + \tilde{v}_2 \tilde{m}_2 + \sum_{l>2} \tilde{v}_l \tilde{m}_l \\ \Delta p_0 + v_1 m_1 &= \tilde{v}_1 \tilde{m}_1 + \tilde{v}_1 (1 - \sigma) m_2\end{aligned}$$

ist die neue Geschwindigkeit der Masse im freien Fall:

$$\tilde{v}_1 = [m_1 v_1 + \Delta p_0] / [m_1 + (1 - \sigma) m_2]$$

- Zusammenfassung:
  - Freier Fall:  $m_1$  mit  $u_1$  in  $t_1$ , dann  $v_1$  in  $t_2$ .

## Das WTC Modell

- Sei  $\Delta p_0 \delta(t - t_2)$  die wirkende Reserve-Befestigungskraft in dem Moment  $t = t_2$  der Kollision.
- D.h. wenn der Impuls  $m_1 v_1$  der fallenden Masse kleiner als  $\Delta p_0$  ist, gibt es keine weitere Bewegung.
- Von Impulserhaltung,

$$\begin{aligned}\Delta p_0 + v_1 m_1 + v_2 m_2 &= \tilde{v}_1 \tilde{m}_1 + \tilde{v}_2 \tilde{m}_2 + \sum_{l>2} \tilde{v}_l \tilde{m}_l \\ \Delta p_0 + v_1 m_1 &= \tilde{v}_1 \tilde{m}_1 + \tilde{v}_1 (1 - \sigma) m_2\end{aligned}$$

ist die neue Geschwindigkeit der Masse im freien Fall:

$$\tilde{v}_1 = [m_1 v_1 + \Delta p_0] / [m_1 + (1 - \sigma) m_2]$$

- Zusammenfassung:
  - Freier Fall:  $m_1$  mit  $u_1$  in  $t_1$ , dann  $v_1$  in  $t_2$ .
  - Kollision:  $\tilde{m}_1 = m_1 + m_2$  – Staub, und  $\tilde{m}_1 \tilde{v}_1 = m_1 v_1 + \Delta p_0$ .

## Das WTC Modell

- Sei  $\Delta p_0 \delta(t - t_2)$  die wirkende Reserve-Befestigungskraft in dem Moment  $t = t_2$  der Kollision.
- D.h. wenn der Impuls  $m_1 v_1$  der fallenden Masse kleiner als  $\Delta p_0$  ist, gibt es keine weitere Bewegung.
- Von Impulserhaltung,

$$\begin{aligned}\Delta p_0 + v_1 m_1 + v_2 m_2 &= \tilde{v}_1 \tilde{m}_1 + \tilde{v}_2 \tilde{m}_2 + \sum_{l>2} \tilde{v}_l \tilde{m}_l \\ \Delta p_0 + v_1 m_1 &= \tilde{v}_1 \tilde{m}_1 + \tilde{v}_1 (1 - \sigma) m_2\end{aligned}$$

ist die neue Geschwindigkeit der Masse im freien Fall:

$$\tilde{v}_1 = [m_1 v_1 + \Delta p_0] / [m_1 + (1 - \sigma) m_2]$$

- Zusammenfassung:
  - Freier Fall:  $m_1$  mit  $u_1$  in  $t_1$ , dann  $v_1$  in  $t_2$ .
  - Kollision:  $\tilde{m}_1 = m_1 + m_2$  – Staub, und  $\tilde{m}_1 \tilde{v}_1 = m_1 v_1 + \Delta p_0$ . werden iterativ im Code verwendet.

Danke für die Aufmerksamkeit!